

Новый каталог орбит 152 галактических шаровых скоплений по данным Gaia EDR3

А.Т. Байкова^{1,*}, В.В. Бобылев¹

¹ГАО РАН

* *e-mail:* bajkova@gaoran.ru

Аннотация

В данной работе приводится новый каталог орбит и их параметров практически для полного списка известных на сегодняшний день галактических шаровых скоплений (ШС), составленного Васильевым (2019) на основе наиболее точных современных измерений их скоростей и положений. Интегрирование орбит 152 шаровых скоплений на 5 млрд лет назад произведено с использованием новых средних собственных движений, полученных из каталога Gaia EDR3 (Васильев, Баумгардт, 2021), и новых средних расстояний (Баумгардт, Васильев, 2021) в уточненном нами осесимметричном трехкомпонентном потенциале со сферической балджем, дисковой компонентой и сферическим темным гало Наварро-Франка-Уайта (Байкова, Бобылев, 2016). Новые параметры орбит сравниваются с параметрами орбит, построенными нами ранее (Байкова, Бобылев, 2021) в том же гравитационном потенциале с использованием собственных движений, полученных из каталога Gaia DR2 (Васильев, 2019), и с расстояниями из каталога Харриса (2010 г.).

Введение

Шаровые скопления (ШС) являются одними из самых интересных объектов нашей Галактики. Их изучение позволяет понять рождение и эволюцию Галактики, поскольку они являются самыми старыми звездными образованиями. Их возраст почти равен возрасту Вселенной. В настоящее время известно около 170 ШС Млечного Пути. По теоретическим оценкам число ШС Млечного Пути может составлять порядка 200.

Одним из методов исследований ШС является изучение их орбитального движения, которое стало возможным благодаря измерениям с высокой точностью их пространственных скоростей и положений с космического аппарата Gaia. Появление каталогов средних собственных движений уже по данным второго релиза DR2 в сочетании с другими астрометрическими данными о лучевых скоростях и положениях ШС сделало реальным изучение орбитального движения почти всех известных на сегодняшний день ШС (например, Хелми и др., 2018; Баумгардт и др., 2019; Васильев, 2019; Байкова и др., 2020; Байкова, Бобылев, 2021).

Среди каталогов астрометрических данных с собственными движениями из Gaia DR2 (Браун и др., 2018) особо отметим каталог Васильева (2019) для порядка 150 ШС, который позволяет строить 6D фазовое пространство, необходимое для вычисления орбит. Этот каталог был использован нами для исследования орбитальных свойств ШС и на этой основе мы разработали новый метод разделения ШС по подсистемам Галактики: балджа, толстого диска и гало (Байкова и др., 2020), основанный на бимодальном характере распределения параметра L_Z/ecc , где L_Z – Z -компоненты углового момента, ecc – эксцентриситет орбиты. В работе Байковой, Бобылева (2021) нами представлен каталог орбит 152 ШС и их орбитальных параметров, а также предложена модифицированная нами классификация Массари и др. (2019) по подсистемам Галактики, исходя из полученных орбитальных свойств ШС.

С появлением новой, более точной версии каталога собственных движений ШС (Васильев, Баумгардт, 2021), основанной на данных измерений Gaia EDR3 (Браун и др., 2021), а также новых средних расстояний ШС (Баумгардт, Васильев, 2021), возникает естественная задача построения нового каталога орбит ШС и уточнения их параметров. Этому и

посвящена данная работа.

Работа структурирована следующим образом. В первом разделе дается краткое описание и обоснование принятой модели гравитационного потенциала, в котором производится интегрирование орбит ШС, приводятся уравнения движения и даются формулы для вычисления орбитальных параметров. Во втором разделе дается описание данных, приводится сравнение средних собственных движений и их неопределенностей, полученных по данным каталогов Gaia DR2 и EDR3, а также сравнение новых расстояний ШС с ранее использовавшимися расстояниями из каталога Харриса (2010). Третий раздел посвящен обсуждению результатов работы, дается каталог орбит ШС и их параметров, вычисленных по новым данным, производится сравнение основных орбитальных параметров с параметрами, опубликованными в работе Байковой, Бобылева (2021). В Заключении представлены основные выводы работы.

1 Метод

1.1 Модель осесимметричного галактического потенциала

Оссесимметричный гравитационный потенциал Галактики представлен в виде суммы трех компонентов: центрального сферического балджа $\Phi_b(r(R, Z))$, диска $\Phi_d(r(R, Z))$ и массивного сферического гало темной материи $\Phi_h(r(R, Z))$ (Байкова, Бобылев, 2016 и ссылки там):

$$\Phi(R, Z) = \Phi_b(r(R, Z)) + \Phi_d(r(R, Z)) + \Phi_h(r(R, Z)). \quad (1)$$

Здесь мы используем цилиндрическую систему координат (R, ψ, Z) с началом в центре Галактики. В прямоугольной декартовой системе координат (X, Y, Z) с началом в центре Галактики расстояние до звезды (сферический радиус) равно $r^2 = X^2 + Y^2 + Z^2 = R^2 + Z^2$. Гравитационный потенциал выражается в единицах $100 \text{ км}^2/\text{с}^2$, расстояния – в кпк, массы – в единицах массы Галактики, $M_0 = 2.325 \times 10^7 M_\odot$, гравитационная постоянная равна $G = 1$.

Потенциалы балджа $\Phi_b(r(R, Z))$ и диска $\Phi_d(r(R, Z))$ выражаются в

форме, предложенной Мицумото, Нагаи (1975):

$$\Phi_b(r) = -\frac{M_b}{(r^2 + b_b^2)^{1/2}}, \quad (2)$$

$$\Phi_d(R, Z) = -\frac{M_d}{\left[R^2 + \left(a_d + \sqrt{Z^2 + b_d^2} \right)^2 \right]^{1/2}}, \quad (3)$$

где M_b, M_d - массы этих компонентов, а b_b, a_d, b_d – масштабные параметры компонентов в кпк.

Для описания компонента гало мы использовали выражение в форме Наварро-Френка-Уайта (NFW), представленное в работе Наварро и др. (1997):

$$\Phi_h(r) = -\frac{M_h}{r} \ln \left(1 + \frac{r}{a_h} \right), \quad (4)$$

где M_h – масса, a_h – масштабный фактор.

Принятая нами модель галактического потенциала, которую для краткости обозначим как NFWBB, имеет параметры, полученные в результате их подгонки к данным о круговых скоростях облаков ионизованного водорода HI, мазерных источников и различных объектов гало с большими галактоцентрическими расстояниями R вплоть до ~ 200 кпк из работы Бхаттачарджи и др. (2014) (см. Рис. 1). Кроме того, при подгонке параметров были использованы ограничения на локальную динамическую плотность материи $\rho_\odot = 0.1 M_\odot \text{ пк}^{-3}$ и силу, действующую перпендикулярно плоскости Галактики $|K_{z=1.1}|/2\pi G = 77 M_\odot \text{ пк}^{-2}$ (Иргранг и др., 2013).

Параметры модели NFWBB приведены в Таблице 1. Соответствующая модельная кривая вращения до расстояний $R = 200$ кпк показана на Рис. 1. При построении кривой вращения мы использовали значения $R_\odot = 8.3$ кпк для галактоцентрического расстояния Солнца и $V_\odot = 244$ км/с для линейной скорости вращения местного стандарта покоя вокруг центра Галактики, как принято в работе Бхаттачарджи и др. (2014). Масса Галактики согласно этой модели (Байкова, Бобылев, 2016) равна $M_{G(R \leq 200 \text{ kpc})} = 0.75 \pm 0.19 \times 10^{12} M_\odot$. Это значение хорошо согласуется с современными независимыми оценками. Так, например,

Таблица 1: Параметры модели потенциала, $M_0 = 2.325 \times 10^7 M_\odot$

Параметр	Значение
$M_b [M_0]$	443 ± 27
$M_d [M_0]$	2798 ± 84
$M_h [M_0]$	12474 ± 3289
b_b [кпк]	0.2672 ± 0.0090
a_d [кпк]	4.40 ± 0.73
b_d [кпк]	0.3084 ± 0.0050
a_h [кпк]	7.7 ± 2.1
R_\odot [кпк]	8.30
V_\odot [км/с]	243.9
$M_{G_{(R \leq 200\ kpc)}} [10^{12} M_\odot]$	0.75 ± 0.19

нижняя оценка массы NFW гало, полученная совсем недавно Коппельманом, Хелми (2021) по данным о скоростях убегающих звезд гало, составляет $M_{G_{(R \leq 200\ kpc)}} = 0.67^{+0.30}_{-0.15} \times 10^{12} M_\odot$. На Рис. 1, в дополнение к имеющимся данным, нанесены также (синие точки) круговые скорости выделенных нами ШС толстого диска с эксцентриситетами орбит < 0.2 , которые показывают хорошее согласие с данными по мазерным источникам на отрезке галактоцентрических расстояний $2 < R < 20$ кпк.

Модель гравитационного потенциала Млечного Пути NFWBB представляется нам наиболее реалистичной по сравнению с другими известными моделями, поскольку она подкреплена данными на больших галактоцентрических расстояниях, что очень важно при интегрировании орбит далеких шаровых скоплений и скоплений с большим апоцентрическим расстоянием, а также дает хорошее согласие с современными оценками локальных параметров и рядом независимых оценок массы Галактики (Байкова, Бобылев, 2017)), тщательный обзор которых дан также в недавней работе Ван и др. (2020).

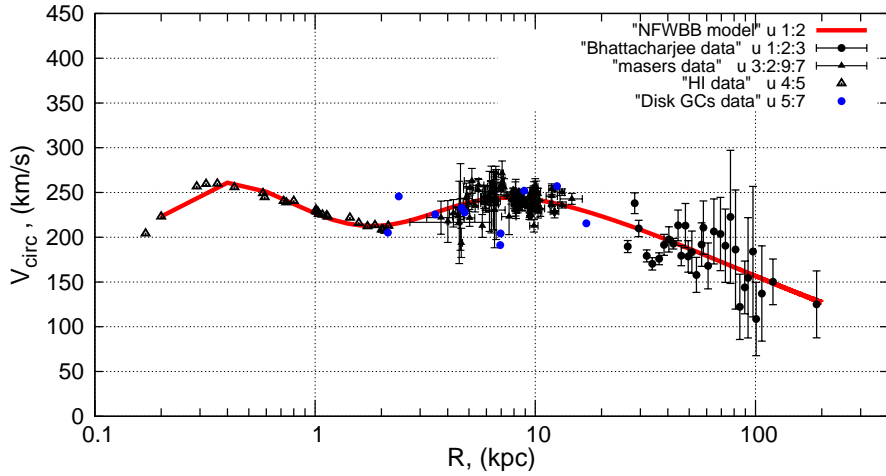


Рис. 1: Кривая вращения, соответствующая модели потенциала NFWBB. Синими точками нанесены круговые скорости ШС диска с эксцентриситетами орбит <0.2 .

1.2 Интегрирование орбит

Уравнение движения пробной частицы в осесимметричном гравитационном потенциале может быть получено из лагранжиана системы \mathcal{L} (см. Приложение А в работе Иррганга и др. (2013)):

$$\begin{aligned} \mathcal{L}(R, Z, \dot{R}, \dot{Z}) = & \\ 0.5(\dot{R}^2 + (R\dot{\psi})^2 + \dot{Z}^2) - \Phi(R, Z). & \end{aligned} \quad (5)$$

Введя канонические моменты

$$\begin{aligned} p_R &= \partial \mathcal{L} / \partial \dot{R} = \dot{R}, \\ p_\psi &= \partial \mathcal{L} / \partial \dot{\phi} = R^2 \dot{\psi}, \\ p_Z &= \partial \mathcal{L} / \partial \dot{Z} = \dot{Z}, \end{aligned} \quad (6)$$

получаем уравнения Лагранжа в виде системы шести дифференциальных уравнений первого порядка:

$$\begin{aligned}\dot{R} &= p_R, \\ \dot{\psi} &= p_\psi/R^2, \\ \dot{Z} &= p_Z, \\ \dot{p}_R &= -\partial\Phi(R, Z)/\partial R + p_\psi^2/R^3, \\ \dot{p}_\psi &= 0, \\ \dot{p}_Z &= -\partial\Phi(R, Z)/\partial Z.\end{aligned}\tag{7}$$

Для интегрирования уравнений (7) мы использовали алгоритм Рунге–Кутты четвертого порядка. Интегрирование производилось на 5 млрд лет назад. Как показано в работе Байковой и др. (2021) на этом интервале времени галактический потенциал можно считать стационарным.

Пекулярная скорость Солнца относительно Местного стандарта покоя принималась равной $(u_\odot, v_\odot, w_\odot) = (11.1, 12.2, 7.3) \pm (0.7, 0.5, 0.4)$ км/с (Шонрих и др., 2010). Здесь мы используем гелиоцентрические скорости в подвижной декартовой системе координат со скоростью u , направленной в сторону галактического центра, v – в направлении вращения Галактики и w , перпендикулярной плоскости Галактики и направленной к северному полюсу Галактики.

Пусть начальные положения и пространственные скорости пробной частицы в гелиоцентрической системе координат равны $(x_o, y_o, z_o, u_o, v_o, w_o)$. Тогда начальные положения (X, Y, Z) и скорости (U, V, W) пробной частицы в декартовых галактических координатах задаются формулами:

$$\begin{aligned}X &= R_\odot - x_o, Y = y_o, Z = z_o + h_\odot, \\ R &= \sqrt{X^2 + Y^2}, \\ U &= u_o + u_\odot, \\ V &= v_o + v_\odot + V_0, \\ W &= w_o + w_\odot,\end{aligned}\tag{8}$$

где R_\odot и V_\odot – галактоцентрическое расстояние и линейная скорость вращения Местного стандарта покоя вокруг центра Галактики, $h_\odot = 16$ пк (Бобылев, Байкова, 2016) – высота Солнца над плоскостью Галактики, Π и Θ – радиальная и круговая скорости соответственно.

В данной работе мы вычисляем следующие параметры орбит шаровых скоплений по известным формулам (единицы измерений параметров указаны в Таблице 2):

(1) начальное расстояние ШС от центра Галактики d_{GC} :

$$d_{GC} = \sqrt{X^2 + Y^2 + Z^2}; \quad (9)$$

(2) радиальную скорость Π :

$$\Pi = -U \frac{X}{R} + V \frac{Y}{R}; \quad (10)$$

(3) круговую скорость Θ :

$$\Theta = U \frac{Y}{R} + V \frac{X}{R}; \quad (11)$$

(4) полную 3D скорость V_{tot} :

$$V_{tot} = \sqrt{\Pi^2 + \Theta^2 + W^2}; \quad (12)$$

(5) апоцентрическое расстояние (apo) орбиты;

(6)periцентрическое расстояние (peri) орбиты;

(7) эксцентриситет (ecc) орбиты:

$$ecc = \frac{apo - peri}{apo + peri}; \quad (13)$$

(8) компоненты углового момента:

$$L_X = Y \times W - Z \times V; \quad (14)$$

$$L_Y = Z \times U - X \times W; \quad (15)$$

$$L_Z = X \times V - Y \times U; \quad (16)$$

(9) угол наклона орбиты θ :

$$\theta = \arccos\left(\frac{L_Z}{L}\right), \quad (17)$$

где $L = \sqrt{L_X^2 + L_Y^2 + L_Z^2}$ – полный орбитальный момент;

(10) период орбиты T_r ;

(11) полную энергию E :

$$E = \Phi(R, Z) + \frac{V_{tot}^2}{2}. \quad (18)$$

Неопределенности орбитальных параметров рассчитывались методом Монте-Карло с использованием 100 итераций с учетом неопределенностей в начальных координатах и скоростях ШС, а также ошибок в пекулярной скорости Солнца.

2 Данные

Для исследованных нами ранее 152 шаровых скоплений (Байкова, Бобылев, 2021) с данными преимущественно из каталога Васильева (2019), мы взяли новые средние значения собственных движений и их неопределенностей из нового каталога Васильева и Баумгардта (2021), полученного из данных каталога Gaia EDR3, а также новые средние значения расстояний из работы Баумгардта, Васильева (2021). Все остальные астрометрические данные (лучевые скорости, координаты) остались прежними.

На Рис. 2 мы даем сравнение средних собственных движений из этих двух каталогов, полученных по измерениям Gaia DR2 и Gaia EDR3. Как следует из рисунка, новые значения собственных движений для ряда ШС заметно отличаются от старых. При этом точность измерения новых собственных движений в среднем повысилась в два раза.

На Рис. 3 дается сравнение расстояний ШС до Солнца, взятых из каталога Харриса (2010) при составлении предыдущего каталога орбит, и средних расстояний из каталога Баумгардта и Васильева (2021), использованных нами при составлении нового каталога. Левая панель отражает расстояния до 50 кпк, а правая - до 15 кпк. Из приведенных ри-

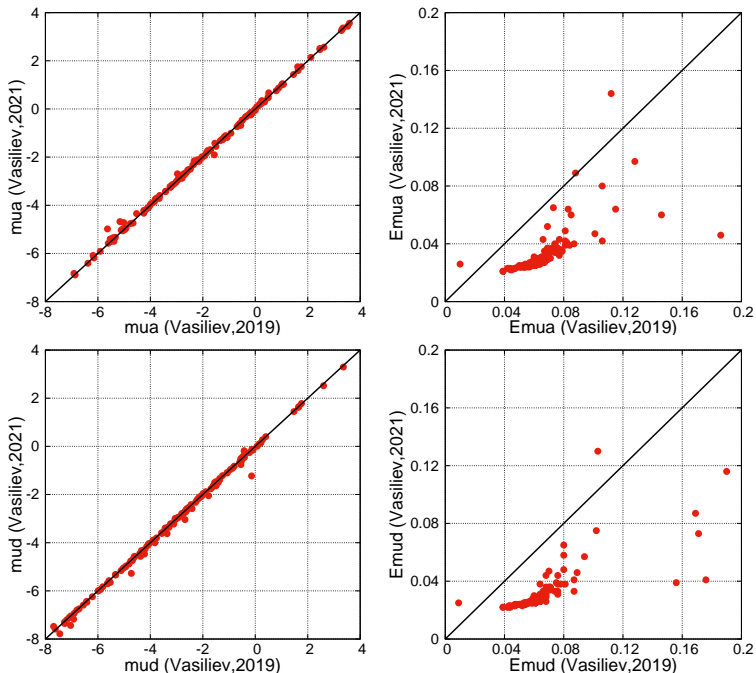


Рис. 2: Сравнение собственных движений ШС (по α (μ_α) и δ (μ_δ), обозначенных на графиках как mua и mud , соответственно) и их неопределенностей ($Emua$) и ($Emud$), соответственно) из каталога Васильева (2019) (Gaia DR2, горизонтальная ось)) и каталога Васильева, Баумгардта (2021) (Gaia EDR3, вертикальная ось). На каждой панели нанесена линия совпадения.

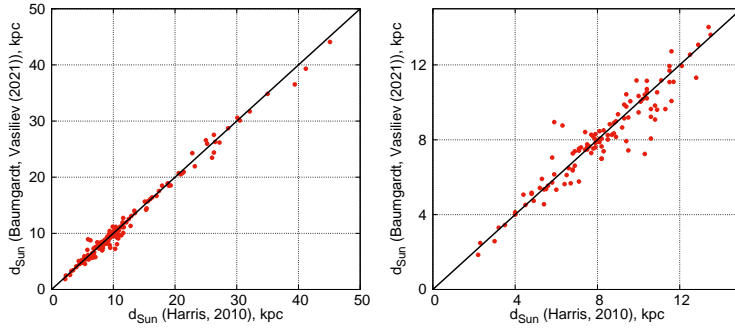


Рис. 3: Сравнение гелиоцентрических расстояний ШС (d_{Sun}) из каталога Харриса (2010) (горизонтальная ось) и каталога Баумгардта и Васильева (2021) (вертикальная ось). На левой панели показаны расстояния до 50 кпк, на правой панели - до 15 кпк. На каждой панели нанесена линия совпадения.

сунков (особенно для небольших d_{Sun}), видно, что расстояния для ряда ШС отличаются довольно значительно, что совместно с изменениями собственных движений, как будет показано ниже, существенно отразилось на орбитальном движении (и соответственно, орбитальных параметрах) многих ШС.

3 Результаты

В Таблице 4 приводятся орбитальные параметры (d_{GC} , Π , Θ , V_{tot} , apo , $peri$, ecc , θ , T_r , L_Z , E , см. раздел 1.2) 152 ШС, вычисленные для новых средних собственных движений EDR3 (Васильев, Баумгардт, 2021), а также новых средних расстояний (Баумгардт, Васильев, 2021).

Сравнение основных орбитальных параметров ШС, вычисленных с использованием средних собственных движений Gaia EDR3, с аналогичными параметрами, вычисленными по данным каталога Gaia DR2, показано на Рис. 4. Как видно из рисунков, для ряда ШС наблюдается существенное различие. Как показывает анализ, наибольшему изменению орбитальных свойств подверглись наиболее далекие объекты и объекты с сильно вытянутыми в радиальном направлении орбитами. Отметим также, что классификация Массари (2019) ШС по подгруппам, модифицированная в работе Байковой, Бобылева (2021), сохранилась,

поскольку параметр L_Z/ecc , как видно из рисунка, не подвергся больши́м изменениям.

Новый каталог орбит в двух проекциях (X, Y) и (R, Z) 152 шаровых скоплений приведен на Рис. 5, который можно сравнить с предыдущим, опубликованным в работе Байковой, Бобылева (2021).

4 Заключение

Появление все более точных астрометрических данных о координатах и пространственных скоростях шаровых скоплений позволяет изучать их движение в трехмерном пространстве путем интегрирования орбит в гравитационном потенциале Галактики.

Уже благодаря данным Gaia DR2 (Хелми и др., 2018; Баумгардт и др., 2019; Васильев, 2019) о собственных движениях почти всех известных на сегодняшний день шаровых скоплений стало возможным изучение их кинематики и динамики, проведение классификации ШС по подсистемам Млечного Пути с целью определения объектов, образовавшихся непосредственно в Галактике, либо привнесенных извне в результате акреции с других (карликовых) галактик, окружающих Млечный Путь (Массари и др., 2019). Создание каталога орбит и их параметров почти всех ШС (Байкова, Бобылев, 2021) с известными данными о 6D фазовом пространстве, необходимом для интегрирования орбит, дает высокинформативный материал для последующих исследований.

Недавнее появление новой, более точной версии каталога собственных движений (Васильев, Баумгардт, 2021), а также новых, более точных усредненных расстояний (Баумгардт, Васильев, 2021), позволило создать новую версию каталога орбит 152 ШС и их параметров, что и явилось результатом данной работы.

Авторы благодарны рецензенту за полезные замечания, которые способствовали улучшению статьи.

СПИСОК ЛИТЕРАТУРЫ

1. Байкова А.Т., Бобылев В.В., Письма в Астрон. журн. **42**, 625 (2016) [A.T. Bajkova and V.V. Bobylev, Astron. Lett. **42**, 567 (2016)].

2. Байкова и др. (A.T. Bajkova, G. Carraro, V.I. Korchagin, N.O. Budanova, and V.V. Bobylev), *Astrophys. J.* **895**, 69 (2020).
3. Байкова, Бобылев (A.T. Bajkova and V.V. Bobylev), *RAA*, **21**, Issue 7, 173 (2021).
4. Байкова и др. (Байкова А.Т., Смирнов А.А., Бобылев В.В.), Письма в Астрон. журн. **47**, 472 (2021) [A.T. Bajkova, A.A.Smirnov, and V.V. Bobylev, *Astron. Lett.* **47**, 454 (2021)].
5. Баумгардт и др. (H. Baumgardt, M. Hilker, A. Sollima, and A. Bellini), *MNRAS* **482**, 5138 (2019).
6. Баумгардт, Васильев (H. Baumgardt and E. Vasiliev), *MNRAS* **505**, 5957 (2021).
7. Бобылев В.В., Байкова А.Т., Письма в Астрон. журн. **42**, 3 (2016) [V.V. Bobylev and A.T. Bajkova, *Astron. Lett.* **42**, 1 (2016)].
8. Браун и др. (Gaia Collaboration, A.G.A. Brown, A. Vallenari, T. Prusti, et al.), *Astron. Astrophys.* **616**, 1 (2018).
9. Браун и др. (Gaia Collaboration, A.G.A. Brown, A. Vallenari, T. Prusti, et al.), *Astron. Astrophys.* **649**, 1 (2021).
10. Бхаттачарджи и др. (P. Bhattacharjee, S. Chaudhury, and S. Kundu), *Astrophys. J.* **785**, 63 (2014).
11. Ван и др. (W. Wang, J. Han, M. Cautun, Z. Li, and M. Ishigaki), *SCPMA*, **63**, id.109801 (2020).
12. Васильев (E. Vasiliev), *MNRAS* **484**, 2832 (2019).
13. Васильев, Баумгардт (E. Vasiliev and H. Baumgardt), *MNRAS* **505**, 5978 (2021).
14. Иррганг и др. (A. Irrgang, B. Wilcox, E. Tucker, and L. Schiefelbein), *Astron. Astrophys.* **549**, 137 (2013).
15. Коппельман, Хелми (H.H. Koppelman and A. Helmi), *Astron. Astrophys.* **649**, Id. A136, 14 pp. (2021).
16. Массари и др. (D. Massari, H.H. Koppelman, and A. Helmi), *Astron. Astrophys.* **630**, L4 (2019).
17. Мицумото, Нагаи (M. Miyamoto and R. Nagai), *PASJ* **27**, 533 (1975).
18. Наварро и др. (J.F. Navarro, C.S. Frenk, and S.D.M. White), *Astrophys. J.* **490**, 493 (1997).

19. Харрис (W. Harris), astro-ph/1012.3224 (2010).
20. Хелми и др. (Gaia Collaboration: A. Helmi, F. van Leeuwen, P.J. McMillan, et al.), Astron. Astrophys. **616**, 12 (2018).
21. Шонрих и др. (R. Schönrich, J. Binney, and W. Dehnen), MNRAS **403**, 1829 (2010).

A new catalog of orbits of 152 globular
clusters from Gaia EDR3

A.T. Bajkova,¹, V.V. Bobylev

Central (Pulkovo) Astronomical Observatory, RAS

This paper provides a new catalog of orbits and their parameters for a practically complete list of currently known galactic globular clusters (GCs), compiled by Vasiliev (2019) based on the most accurate modern measurements of their velocities and positions. The integration of the orbits of 152 globular clusters for 5 Gyr was performed using the new average proper motions obtained from the Gaia EDR3 catalog (Vasiliev and Baumgardt, 2021) and new average distances (Baumgardt and Vasiliev, 2021) in the axisymmetric three-component potential with spherical bulge, disk component, and spherical dark Navarro-Frank-White halo (Bajkova and Bobylev, 2016). The new orbital parameters are compared with the orbital parameters constructed by us earlier (Bajkova and Bobylev, 2021) in the same gravitational potential using proper motions obtained from the Gaia DR2 catalog (Vasiliev, 2019) and with the distances from the Harris catalog (2010).

¹ *e-mail:* bajkova@gaoran.ru

Таблица 1: Орбитальные свойства ПС. Для каждого ПС значения параметров получены в результате интегрирования на 5 млрд. лет назад.

Имя ПС	d_{GC} [кпк]	Π [км/с]	Θ [км/с]	V_{tot} [км/с]	апо [кпк]	peri [кпк]	ecc	incl. θ [град]	T_r [млн. лет]	L_Z [кпк км/ c]	E [кпк c^2/c]
NGC 104	7.6	191^{+5}_{-8}	196^{+5}_{-10}	$7.7^{+0.1}_{-0.1}$	$5.51^{+0.26}_{-0.25}$	$0.16^{+0.02}_{-0.02}$	28^{+1}_{-5}	1.16^{+4}_{-3}	1323^{+34}_{-33}	-126364^{+1301}_{-933}	-115903^{+1953}_{-2171}
NGC 288	12.3	-45^{+11}_{-16}	68^{+11}_{-10}	$12.4^{+0.4}_{-0.5}$	$1.44^{+0.58}_{-0.58}$	$0.79^{+0.08}_{-0.07}$	121^{+5}_{-11}	1.42^{+7}_{-5}	-374^{+136}_{-136}	-119870^{+2194}_{-1943}	3^{+95}_{-65}
NGC 362	9.7	133^{+9}_{-11}	0^{+13}_{-9}	$11.9^{+0.5}_{-0.5}$	$0.08^{+0.35}_{-0.35}$	$0.99^{+0.06}_{-0.06}$	90^{+11}_{-11}	1.30^{+7}_{-4}	-38160^{+3770}_{-3770}	-38160^{+3770}_{-3770}	3^{+95}_{-65}
Whiting 1	35.2	-236^{+14}_{-14}	82^{+8}_{-8}	250^{+14}_{-15}	$22.25^{+1.4}_{-1.4}$	$0.56^{+0.05}_{-0.05}$	75^{+20}_{-20}	1406^{+243}_{-243}	1893^{+224}_{-224}	-38160^{+3770}_{-3770}	-38160^{+3770}_{-3770}
NGC 1261	18.3	-98^{+10}_{-10}	-22^{+6}_{-6}	121^{+6}_{-8}	$0.84^{+0.02}_{-0.02}$	$0.92^{+0.02}_{-0.02}$	122^{+6}_{-8}	248^{+29}_{-29}	-289^{+85}_{-85}	-90668^{+3964}_{-3964}	-90668^{+3964}_{-3964}
Pal 1	17.5	43^{+9}_{-7}	215^{+11}_{-11}	$19.4^{+0.7}_{-0.7}$	$14.89^{+0.23}_{-0.23}$	$0.13^{+0.02}_{-0.02}$	15^{+13}_{-13}	358^{+13}_{-13}	3691^{+61}_{-61}	-77319^{+1925}_{-1925}	-77319^{+1925}_{-1925}
E 1	120.3	-21^{+3}_{-3}	-6^{+5}_{-5}	60^{+5}_{-6}	$129.4^{+26.7}_{-26.7}$	$5.20^{+31.25}_{-31.25}$	100^{+21}_{-21}	2140^{+923}_{-923}	-485^{+4168}_{-4168}	-2985^{+5096}_{-5096}	-2985^{+5096}_{-5096}
Eridanus	89.8	-80^{+19}_{-19}	22^{+11}_{-11}	163^{+8}_{-8}	$159.2^{+7.0}_{-7.0}$	$0.92^{+0.02}_{-0.02}$	1582^{+193}_{-193}	1567^{+381}_{-381}	-25451^{+1362}_{-1362}	-25451^{+1362}_{-1362}	-25451^{+1362}_{-1362}
Pal 2	34.3	-107^{+4}_{-3}	22^{+17}_{-10}	110^{+4}_{-2}	$39.7^{+0.6}_{-0.6}$	$1.35^{+1.13}_{-1.13}$	$0.93^{+0.03}_{-0.03}$	14^{+15}_{-15}	492^{+11}_{-11}	754^{+544}_{-544}	-64910^{+689}_{-689}
NGC 1851	16.8	104^{+5}_{-5}	-4^{+5}_{-3}	132^{+4}_{-4}	$19.9^{+0.5}_{-0.5}$	$0.17^{+0.12}_{-0.12}$	$0.98^{+0.01}_{-0.01}$	97^{+5}_{-5}	228^{+8}_{-8}	-66^{+72}_{-52}	-94603^{+385}_{-385}
NGC 1904	19.2	45^{+7}_{-7}	9^{+4}_{-4}	46^{+5}_{-5}	$19.9^{+0.4}_{-0.4}$	$0.24^{+0.01}_{-0.01}$	$0.98^{+0.01}_{-0.01}$	68^{+24}_{-24}	220^{+8}_{-8}	158^{+68}_{-68}	-95806^{+1354}_{-1354}
NGC 2298	15.2	-88^{+9}_{-9}	-14^{+6}_{-6}	112^{+9}_{-9}	$16.9^{+0.4}_{-0.4}$	$0.51^{+0.15}_{-0.15}$	$0.94^{+0.02}_{-0.02}$	105^{+8}_{-8}	188^{+6}_{-6}	212^{+172}_{-172}	-103115^{+1523}_{-1523}
NGC 2419	96.0	-7^{+8}_{-7}	46^{+8}_{-8}	73^{+5}_{-5}	$97.8^{+0.4}_{-0.4}$	$18.02^{+0.26}_{-0.26}$	$0.69^{+0.06}_{-0.06}$	52^{+16}_{-16}	1630^{+366}_{-366}	4018^{+129}_{-129}	-34413^{+739}_{-739}
Pyxis	38.6	-243^{+14}_{-14}	-22^{+8}_{-8}	292^{+6}_{-6}	$173.6^{+1.21}_{-1.21}$	$18.60^{+0.65}_{-0.65}$	$0.81^{+0.03}_{-0.03}$	97^{+8}_{-8}	3310^{+198}_{-198}	-861^{+72}_{-72}	-23684^{+2083}_{-2083}
NGC 2808	11.6	-159^{+11}_{-11}	36^{+3}_{-3}	166^{+7}_{-7}	$14.9^{+0.5}_{-0.5}$	$0.90^{+0.08}_{-0.08}$	$0.89^{+0.01}_{-0.01}$	11^{+12}_{-12}	162^{+6}_{-6}	410^{+133}_{-133}	$-110129^{+10952}_{-10952}$
E 3	9.2	42^{+17}_{-17}	248^{+12}_{-12}	271^{+13}_{-13}	$12.4^{+1.6}_{-1.6}$	$9.05^{+0.30}_{-0.30}$	$0.15^{+0.07}_{-0.07}$	28^{+2}_{-2}	214^{+17}_{-17}	2184^{+135}_{-135}	-99850^{+3920}_{-3920}
Pal 3	98.2	-146^{+26}_{-23}	168^{+17}_{-17}	$148.5^{+49.8}_{-49.8}$	$9.05^{+0.45}_{-0.45}$	$0.15^{+0.02}_{-0.02}$	$0.94^{+0.03}_{-0.03}$	74^{+9}_{-9}	1630^{+73}_{-73}	4168^{+1807}_{-1807}	-22356^{+2501}_{-2501}
NGC 3201	9.0	-113^{+6}_{-6}	-29^{+21}_{-21}	351^{+6}_{-6}	$173.6^{+1.21}_{-1.21}$	$18.60^{+0.65}_{-0.65}$	$0.81^{+0.03}_{-0.03}$	52^{+16}_{-16}	4018^{+1066}_{-1066}	-77493^{+2739}_{-2739}	-77493^{+2739}_{-2739}
Pal 4	104.1	-2^{+23}_{-23}	2^{+30}_{-30}	49^{+17}_{-17}	$108.7^{+5.7}_{-5.7}$	$4.10^{+0.74}_{-0.74}$	$0.93^{+0.02}_{-0.02}$	88^{+10}_{-10}	1712^{+139}_{-139}	91^{+166}_{-166}	-66^{+72}_{-52}
Crater	147.0	-88^{+45}_{-45}	-26^{+88}_{-88}	106^{+87}_{-87}	$149.9^{+340.5}_{-340.5}$	$71.70^{+4.52}_{-4.52}$	$0.35^{+0.30}_{-0.30}$	99^{+14}_{-14}	3854^{+1158}_{-1158}	-2527^{+8541}_{-8541}	-21982^{+13587}_{-13587}
NGC 4147	20.8	42^{+30}_{-30}	7^{+10}_{-10}	137^{+8}_{-8}	$25.5^{+1.0}_{-1.0}$	$0.79^{+0.17}_{-0.17}$	$0.94^{+0.01}_{-0.01}$	83^{+3}_{-3}	304^{+103}_{-103}	73^{+104}_{-104}	-8228^{+1119}_{-1119}
NGC 4372	7.3	16^{+6}_{-6}	132^{+4}_{-4}	148^{+5}_{-5}	$168.0^{+8.6}_{-8.6}$	$68.08^{+0.16}_{-0.16}$	$0.37^{+0.03}_{-0.03}$	74^{+9}_{-9}	3742^{+925}_{-925}	4168^{+1066}_{-1066}	-22356^{+2501}_{-2501}
Rup 106	18.0	-243^{+14}_{-14}	90^{+8}_{-8}	261^{+5}_{-5}	$24.9^{+2.0}_{-2.0}$	$8.29^{+0.20}_{-0.20}$	$0.50^{+0.03}_{-0.03}$	152^{+7}_{-7}	354^{+27}_{-27}	-2671^{+495}_{-495}	-77493^{+2739}_{-2739}
NGC 4590	10.4	-171^{+4}_{-4}	-8^{+15}_{-15}	293^{+3}_{-3}	49^{+17}_{-17}	$4.10^{+0.74}_{-0.74}$	$0.93^{+0.02}_{-0.02}$	88^{+10}_{-10}	1712^{+139}_{-139}	91^{+166}_{-166}	-66205^{+1557}_{-1557}
NGC 4833	7.2	101^{+11}_{-11}	37^{+8}_{-8}	340^{+4}_{-4}	$30.5^{+1.4}_{-1.4}$	$8.94^{+0.29}_{-0.29}$	$0.55^{+0.01}_{-0.01}$	41^{+2}_{-2}	438^{+22}_{-22}	2464^{+77}_{-77}	-33368^{+1358}_{-1358}
NGC 5272	12.2	-38^{+4}_{-4}	142^{+6}_{-6}	199^{+11}_{-11}	$15.9^{+0.7}_{-0.7}$	$5.14^{+0.12}_{-0.12}$	$0.51^{+0.02}_{-0.02}$	57^{+1}_{-1}	212^{+2}_{-2}	-2527^{+6201}_{-6201}	-21982^{+13587}_{-13587}
NGC 5286	8.5	-220^{+2}_{-2}	-31^{+8}_{-8}	223^{+1}_{-1}	$13.0^{+0.5}_{-0.5}$	$0.79^{+0.03}_{-0.03}$	$0.85^{+0.03}_{-0.03}$	39^{+7}_{-7}	84^{+14}_{-14}	266^{+57}_{-57}	-145170^{+2075}_{-2075}
NGC 5324	19.1	-98^{+4}_{-4}	138^{+7}_{-7}	184^{+3}_{-3}	$7.3^{+0.2}_{-0.2}$	$2.96^{+0.16}_{-0.16}$	$0.42^{+0.03}_{-0.03}$	27^{+7}_{-7}	98^{+12}_{-12}	73^{+104}_{-104}	-139945^{+2776}_{-2776}
NGC 5053	18.1	-91^{+4}_{-4}	136^{+8}_{-8}	261^{+5}_{-5}	$36.8^{+2.6}_{-2.6}$	$4.48^{+0.46}_{-0.46}$	$0.78^{+0.02}_{-0.02}$	46^{+3}_{-3}	480^{+4}_{-4}	1585^{+162}_{-162}	-77493^{+2739}_{-2739}
NGC 5139	6.6	-63^{+5}_{-5}	-76^{+8}_{-8}	131^{+6}_{-6}	$30.5^{+1.4}_{-1.4}$	$8.94^{+0.29}_{-0.29}$	$0.55^{+0.01}_{-0.01}$	41^{+2}_{-2}	438^{+22}_{-22}	91^{+166}_{-166}	-66205^{+1557}_{-1557}
NGC 5272	12.2	-38^{+4}_{-4}	142^{+6}_{-6}	199^{+11}_{-11}	$8.0^{+0.3}_{-0.3}$	$0.64^{+0.16}_{-0.16}$	$0.85^{+0.03}_{-0.03}$	39^{+7}_{-7}	84^{+14}_{-14}	266^{+57}_{-57}	-145170^{+2075}_{-2075}
IC 4499	15.7	-243^{+4}_{-4}	-74^{+7}_{-7}	262^{+6}_{-6}	$29.9^{+1.7}_{-1.7}$	$6.44^{+0.47}_{-0.47}$	$0.65^{+0.02}_{-0.02}$	116^{+8}_{-8}	344^{+14}_{-14}	772^{+34}_{-34}	-116387^{+2140}_{-2140}
NGC 5466	16.5	-169^{+15}_{-15}	-141^{+18}_{-18}	315^{+9}_{-9}	$52.9^{+1.5}_{-1.5}$	$9.15^{+0.98}_{-0.98}$	$0.43^{+0.02}_{-0.02}$	75^{+1}_{-1}	736^{+76}_{-76}	-816^{+60}_{-60}	-53178^{+1412}_{-1412}
NGC 5634	21.8	-45^{+6}_{-6}	41^{+10}_{-10}	66^{+7}_{-7}	$22.3^{+0.8}_{-0.8}$	$2.29^{+0.43}_{-0.43}$	$0.81^{+0.02}_{-0.02}$	70^{+9}_{-9}	268^{+114}_{-114}	383^{+99}_{-99}	-84327^{+1759}_{-1759}
NGC 5694	29.1	-182^{+6}_{-6}	-46^{+10}_{-10}	254^{+12}_{-12}	$71.0^{+0.8}_{-0.8}$	$2.81^{+0.99}_{-0.99}$	$0.92^{+0.02}_{-0.02}$	134^{+5}_{-5}	1004^{+159}_{-159}	-14765^{+1628}_{-1628}	-14765^{+1628}_{-1628}
IC 4499	15.7	-243^{+4}_{-4}	-74^{+7}_{-7}	262^{+6}_{-6}	$29.9^{+1.7}_{-1.7}$	$6.44^{+0.47}_{-0.47}$	$0.65^{+0.02}_{-0.02}$	113^{+3}_{-3}	406^{+24}_{-24}	-1056^{+87}_{-87}	-72415^{+2140}_{-2140}
NGC 5324	25.3	-42^{+13}_{-13}	105^{+7}_{-7}	213^{+11}_{-11}	$36.4^{+2.5}_{-2.5}$	$13.54^{+0.97}_{-0.97}$	$0.46^{+0.03}_{-0.03}$	576^{+67}_{-67}	576^{+67}_{-67}	-2343^{+1412}_{-1412}	-1899^{+3067}_{-3067}
Pal 5	17.2	-52^{+9}_{-9}	138^{+8}_{-8}	148^{+29}_{-29}	$17.6^{+2.0}_{-2.0}$	$7.93^{+1.34}_{-1.34}$	$0.38^{+0.05}_{-0.05}$	67^{+3}_{-3}	260^{+44}_{-44}	962^{+1480}_{-1480}	-29799^{+6006}_{-6006}
NGC 5897	7.4	87^{+5}_{-5}	98^{+12}_{-12}	159^{+15}_{-15}	$8.8^{+0.4}_{-0.4}$	$1.94^{+0.43}_{-0.43}$	$0.64^{+0.02}_{-0.02}$	60^{+2}_{-2}	106^{+7}_{-7}	369^{+178}_{-178}	-131407^{+2594}_{-2594}
NGC 5904	6.3	-290^{+12}_{-12}	126^{+8}_{-8}	364^{+9}_{-9}	$23.2^{+1.9}_{-1.9}$	$2.26^{+0.53}_{-0.53}$	$0.82^{+0.02}_{-0.02}$	72^{+2}_{-2}	284^{+24}_{-24}	404^{+158}_{-158}	-85760^{+3428}_{-3428}

Таблица 1: Орбитальные свойства ПС. Продолжение с предыдущей страницы.

Имя ПС	dGC [кпк]	Π [км/с]	Θ [км/с]	V_{tot} [км/с]	апо [кпк]	peri [кпк]	ecc	incl. θ [град]	T_r [млн. лет]	L_Z [кпк км/c]	E [км ² /с ²]
NGC 5927	4.8	-51 ⁺⁹ ₋₁₂	231 ⁺⁸ ₋₉	237 ⁺⁸ ₋₈	5.5 ^{+0.3} _{-0.3}	4.13 ^{+0.25} _{-0.25}	0.15 ^{+0.03} _{-0.03}	9 ⁺¹ ₋₁	84 ⁺⁶ ₋₂	1098 ⁺⁷⁸ ₋₃₁₀₂	-14878 ⁺³⁷⁰² ₋₃₇₀₂
NGC 5946	5.2	19 ⁺¹¹ ₋₁₂	7 ⁺³ ₋₄	100 ⁺⁷ ₋₇	5.8 ^{+0.3} _{-0.3}	0.06 ^{+0.08} _{-0.08}	0.98 ^{+0.03} _{-0.03}	86 ⁺⁶ ₋₆	56 ⁺³ ₋₃	37 ⁺⁴¹ ₋₄₁	-163455 ⁺⁵⁷⁴⁵ ₋₅₇₄₅
ESO 224-8	12.6	-44 ⁺¹⁸ ₋₁₈	257 ⁺¹⁷ ₋₁₇	261 ⁺¹⁷ ₋₁₇	16.8 ^{+1.4} _{-1.4}	11.84 ^{+0.84} _{-0.84}	0.17 ^{+0.08} _{-0.08}	7 ⁺⁰ ₋₀	290 ⁺⁵⁰ ₋₂₃	3226 ⁺³²² ₋₂₀₆	-85573 ⁺⁶¹²³ ₋₃₃₉₂
NGC 5986	4.8	64 ⁺⁷ ₋₇	27 ⁺¹² ₋₁₂	70 ⁺⁸ ₋₈	5.6 ^{+0.6} _{-0.6}	0.20 ^{+0.08} _{-0.08}	0.93 ^{+0.02} _{-0.02}	7 ⁺⁵ ₋₃	58 ⁺² ₋₂	112 ⁺²² ₋₂₂	-167349 ⁺¹¹⁴⁴ ₋₂₁₁₁
FSR 1716	4.2	87 ⁺⁹ ₋₉	162 ⁺⁷ ₋₇	217 ⁺⁶ ₋₆	5.2 ^{+0.6} _{-0.6}	2.20 ^{+0.05} _{-0.05}	0.41 ^{+0.00} _{-0.00}	63 ⁺⁷ ₋₃	68 ⁺³ ₋₃	676 ⁺⁴² ₋₄₂	-160568 ⁺²⁵¹⁸ ₋₂₅₁₈
Pal 14	68.5	126 ⁺⁹ ₋₁₅	-13 ⁺¹¹ ₋₁₂	177 ⁺⁹ ₋₉	127.1 ^{+15.6} _{-10.9}	1.49 ^{+0.44} _{-0.44}	0.98 ^{+0.10} _{-0.10}	130 ⁺⁴ ₋₃₇	2058 ⁺³⁴ ₋₂₂₂	-597 ⁺⁵³⁷ ₋₅₈₇	-30562 ⁺²³⁴³ ₋₂₃₄₃
BH 184	4.4	40 ⁺⁷ ₋₇	119 ⁺⁶ ₋₆	154 ⁺⁷ ₋₇	4.7 ^{+0.2} _{-0.2}	1.65 ^{+0.21} _{-0.21}	0.48 ^{+0.03} _{-0.03}	36 ⁺² ₋₂	58 ⁺⁴ ₋₄	522 ⁺⁴⁹ ₋₄₂	-169132 ⁺¹⁸²³ ₋₁₈₂₃
NGC 6093	3.9	37 ⁺¹² ₋₁₂	27 ⁺⁶ ₋₆	78 ⁺⁹ ₋₉	4.2 ^{+0.4} _{-0.4}	0.45 ^{+0.17} _{-0.17}	0.80 ^{+0.12} _{-0.12}	79 ⁺⁶ ₋₆	48 ⁺⁴ ₋₄	50 ⁺¹⁰ ₋₁₀	-173732 ⁺³⁷¹⁵ ₋₃₇₁₅
NGC 6121	6.6	-58 ⁺¹⁵ ₋₁₅	47 ⁺⁹ ₋₉	75 ⁺⁷ ₋₇	6.8 ^{+0.1} _{-0.1}	0.62 ^{+0.17} _{-0.17}	0.83 ^{+0.03} _{-0.03}	5 ⁺¹ ₋₃	74 ⁺¹ ₋₃	306 ⁺⁵⁸ ₋₅₈	-155030 ⁺²⁴⁷⁴ ₋₂₄₇₄
NGC 6101	10.3	-24 ⁺²³ ₋₂₃	-308 ⁺⁸ ₋₈	363 ⁺⁵ ₋₅	36.3 ^{+1.6} _{-1.6}	10.14 ^{+0.33} _{-0.33}	0.56 ^{+0.01} _{-0.01}	143 ⁺⁰ ₋₀	532 ⁺²⁴ ₋₂₂	-2947 ⁺¹⁵⁵² ₋₁₅₅₂	-63205 ⁺²⁰⁵⁷ ₋₂₀₅₇
NGC 6144	2.5	-180 ⁺⁶ ₋₆	-119 ⁺³⁶ ₋₃₆	220 ⁺³ ₋₃	3.4 ^{+0.9} _{-0.9}	1.56 ^{+0.23} _{-0.23}	0.37 ^{+0.07} _{-0.07}	106 ⁺⁶ ₋₆	50 ⁺⁵ ₋₅	-146 ⁺³⁵ ₋₃₅	-174592 ⁺¹⁶⁷⁴ ₋₁₆₇₄
NGC 6139	3.5	-1 ⁺¹⁴ ₋₁₄	73 ⁺¹ ₋₁	150 ⁺³ ₋₃	3.6 ^{+0.2} _{-0.2}	0.97 ^{+0.19} _{-0.19}	0.57 ^{+0.08} _{-0.08}	61 ⁺⁴ ₋₄	237 ⁺⁸ ₋₈	-178098 ⁺¹³⁶⁷ ₋₁₃₆₇	-178098 ⁺³³⁸⁹ ₋₃₃₈₉
Terzan 3	2.5	-20 ⁺³¹ ₋₃₁	215 ⁺⁶ ₋₆	234 ⁺⁷ ₋₇	3.1 ^{+0.3} _{-0.3}	2.33 ^{+0.10} _{-0.10}	0.14 ^{+0.05} _{-0.05}	36 ⁺³ ₋₃	42 ⁺⁶ ₋₆	472 ⁺⁴³ ₋₄₂	-176378 ⁺²⁸⁵¹ ₋₂₈₅₁
NGC 6171	3.9	-1 ⁺¹² ₋₁₂	98 ⁺⁹ ₋₉	114 ⁺⁸ ₋₈	4.0 ^{+0.2} _{-0.2}	1.07 ^{+0.33} _{-0.33}	0.57 ^{+0.03} _{-0.03}	42 ⁺² ₋₂	50 ⁺² ₋₂	308 ⁺⁴² ₋₄₂	-174517 ⁺²⁷⁹⁵ ₋₂₇₉₅
ESO 452-11	2.2	-47 ⁺⁷ ₋₇	22 ⁺⁸ ₋₈	108 ⁺⁷ ₋₇	3.0 ^{+0.2} _{-0.2}	0.06 ^{+0.05} _{-0.05}	0.96 ^{+0.01} _{-0.01}	67 ⁺⁶ ₋₆	28 ⁺³ ₋₃	34 ⁺¹⁷ ₋₁₇	-201978 ⁺²⁴¹³ ₋₂₄₁₃
NGC 6205	8.7	15 ⁺⁵ ₋₅	-28 ⁺⁴ ₋₄	84 ⁺⁶ ₋₆	8.8 ^{+0.2} _{-0.2}	0.97 ^{+0.19} _{-0.19}	0.80 ^{+0.02} _{-0.02}	108 ⁺³ ₋₃	102 ⁺³ ₋₃	-205 ⁺³⁰ ₋₃₀	-133630 ⁺³²⁸¹ ₋₃₂₈₁
NGC 6229	29.5	32 ⁺⁶ ₋₆	10 ⁺⁵ ₋₅	58 ⁺⁵ ₋₅	30.6 ^{+1.3} _{-1.3}	0.57 ^{+0.22} _{-0.22}	0.96 ^{+0.02} _{-0.02}	64 ⁺¹¹ ₋₁₂	368 ⁺¹⁸ ₋₁₈	227 ⁺⁹⁶ ₋₉₆	-75072 ⁺¹²³⁶ ₋₁₂₃₆
NGC 6218	4.7	-11 ⁺⁵ ₋₅	128 ⁺⁶ ₋₆	154 ⁺⁵ ₋₅	4.2 ^{+0.2} _{-0.2}	2.08 ^{+0.16} _{-0.16}	0.57 ^{+0.03} _{-0.03}	40 ⁺² ₋₂	42 ⁺² ₋₂	524 ⁺²² ₋₂₂	-157917 ⁺²²³³ ₋₂₂₃₃
FSR 1735	3.2	-96 ⁺⁶ ₋₆	35 ⁺¹⁵ ₋₁₅	166 ⁺⁶ ₋₆	4.2 ^{+0.3} _{-0.3}	0.21 ^{+0.16} _{-0.16}	0.90 ^{+0.03} _{-0.03}	67 ⁺⁶ ₋₆	67 ⁺⁶ ₋₆	114 ⁺¹⁶ ₋₁₆	-183293 ⁺⁹²⁰ ₋₉₂₀
NGC 6235	4.3	159 ⁺⁷ ₋₇	213 ⁺²⁰ ₋₂₀	269 ⁺¹⁷ ₋₁₈	7.2 ^{+0.9} _{-0.9}	3.13 ^{+0.38} _{-0.38}	0.39 ^{+0.04} _{-0.04}	50 ⁺¹⁰ ₋₁₀	98 ⁺¹² ₋₁₂	705 ⁺¹³⁵ ₋₁₃₅	-137634 ⁺⁹⁵³ ₋₉₅₃
NGC 6254	4.5	-91 ⁺⁴ ₋₄	118 ⁺⁷ ₋₇	157 ⁺¹⁹ ₋₁₉	4.8 ^{+0.2} _{-0.2}	1.78 ^{+0.15} _{-0.15}	0.46 ^{+0.03} _{-0.03}	43 ⁺² ₋₂	74 ⁺¹ ₋₁	470 ⁺³¹ ₋₃₁	-162398 ⁺⁸⁹⁹¹ ₋₈₉₉₁
NGC 6256	2.0	-49 ⁺³¹ ₋₃₁	191 ⁺⁹ ₋₉	157 ⁺⁵ ₋₅	2.4 ^{+0.1} _{-0.1}	1.53 ^{+0.14} _{-0.14}	0.22 ^{+0.06} _{-0.06}	102 ⁺¹⁶ ₋₁₆	76 ⁺⁶ ₋₆	375 ⁺⁷⁵ ₋₇₅	-196767 ⁺⁶⁶¹² ₋₆₆₁₂
Pal 15	37.2	155 ⁺⁸ ₋₈	-1 ⁺¹³ ₋₁₃	52.9 ⁺³ ₋₃	1.30 ^{+0.47} _{-0.47}	0.40 ^{+0.03} _{-0.03}	40 ⁺¹ ₋₁	64 ⁺² ₋₂	524 ⁺²² ₋₂₂	-157473 ₋₁₅₇₄₇₃	-183293 ⁺³⁷⁴ ₋₃₇₄
NGC 6266	2.3	48 ⁺⁸ ₋₈	127 ⁺⁷ ₋₇	150 ⁺⁷ ₋₇	2.7 ^{+0.3} _{-0.3}	0.84 ^{+0.18} _{-0.18}	0.53 ^{+0.05} _{-0.05}	74 ⁺⁶ ₋₆	42 ⁺⁶ ₋₆	267 ⁺⁴⁵ ₋₄₅	-199401 ⁺⁶⁵⁰¹ ₋₆₅₀₁
NGC 6273	1.5	-245 ⁺⁸³ ₋₈₃	-88 ⁺¹⁸² ₋₁₈₂	312 ⁺⁸ ₋₈	3.5 ^{+0.4} _{-0.4}	0.85 ^{+0.13} _{-0.13}	0.61 ^{+0.02} _{-0.02}	95 ⁺⁶ ₋₆	44 ⁺⁶ ₋₆	-40 ⁺¹²² ₋₁₂₂	-177183 ⁺⁵⁴⁵⁷ ₋₅₄₅₇
NGC 6284	6.2	14 ⁺³ ₋₃	-21 ⁺⁵ ₋₅	108 ⁺³ ₋₃	6.4 ^{+0.2} _{-0.2}	0.51 ^{+0.16} _{-0.16}	0.85 ^{+0.06} _{-0.06}	102 ⁺¹⁶ ₋₁₆	76 ⁺⁶ ₋₆	-120 ⁺⁸⁵ ₋₈₅	-151350 ⁺⁵⁶⁵⁹ ₋₅₆₅₉
NGC 6287	1.6	302 ⁺¹¹³ ₋₁₁₃	77 ⁺¹⁶ ₋₁₆	208 ⁺⁵ ₋₅	2.08 ^{+0.16} _{-0.16}	1.53 ^{+0.47} _{-0.47}	0.22 ^{+0.16} _{-0.16}	25 ⁺³ ₋₃	36 ⁺⁶ ₋₆	-38 ⁺⁴⁰³ ₋₄₀₃	-542422 ⁺¹⁹⁹³ ₋₁₉₉₃
NGC 6293	1.6	-162 ⁺³⁰⁴ ₋₃₀₄	-68 ⁺¹²⁹ ₋₁₂₉	232 ⁺⁷ ₋₇	3.2 ^{+0.5} _{-0.5}	0.13 ^{+0.3} _{-0.3}	0.92 ^{+0.05} _{-0.05}	118 ⁺¹³ ₋₁₃	34 ⁺⁵ ₋₅	267 ⁺⁴⁵ ₋₄₅	-199401 ⁺⁶⁵⁰¹ ₋₆₅₀₁
NGC 6304	2.3	75 ⁺⁶ ₋₆	189 ⁺⁵ ₋₅	217 ⁺³ ₋₃	3.1 ^{+0.4} _{-0.4}	1.58 ^{+0.24} _{-0.24}	0.32 ^{+0.03} _{-0.03}	22 ⁺¹ ₋₁	48 ⁺⁶ ₋₆	422 ⁺⁶⁷ ₋₆₇	-187732 ⁺⁶⁸⁸⁵ ₋₆₈₈₅
NGC 6316	3.0	103 ⁺⁷ ₋₇	79 ⁺¹⁵ ₋₁₅	159 ⁺¹² ₋₁₂	3.9 ^{+0.6} _{-0.6}	0.72 ^{+0.14} _{-0.14}	0.69 ^{+0.02} _{-0.02}	37 ⁺⁸ ₋₈	46 ⁺⁷ ₋₇	225 ⁺⁶¹ ₋₆₁	-182890 ⁺⁷¹¹⁹ ₋₇₁₁₉
NGC 6341	9.9	48 ⁺⁴ ₋₄	111 ⁺⁴ ₋₄	110 ⁺⁶ ₋₆	10.8 ^{+0.3} _{-0.3}	0.45 ^{+0.13} _{-0.13}	0.92 ^{+0.03} _{-0.03}	81 ⁺² ₋₂	126 ⁺⁴ ₋₄	99 ⁺³⁴ ₋₃₄	-124522 ⁺¹⁷³⁶ ₋₁₇₃₆
NGC 6325	1.4	-65 ⁺²¹ ₋₂₁	-168 ⁺²³ ₋₂₃	195 ⁺²² ₋₂₂	1.4 ^{+0.3} _{-0.3}	1.04 ^{+0.17} _{-0.17}	0.14 ^{+0.15} _{-0.15}	123 ⁺⁷ ₋₇	16 ⁺¹⁴ ₋₁₄	-143 ⁺⁶⁸ ₋₆₈	-212303 ⁺⁹⁷⁹⁸ ₋₉₇₉₈
NGC 6333	1.8	55 ⁺⁶⁹ ₋₃₁	351 ⁺⁹ ₋₃₃	362 ⁺⁴ ₋₄	6.4 ^{+0.4} _{-0.4}	0.88 ^{+0.18} _{-0.18}	0.76 ^{+0.04} _{-0.04}	63 ⁺² ₋₂	74 ⁺⁶ ₋₆	284 ⁺⁵⁰ ₋₅₀	-151776 ⁺⁷⁵⁵⁴ ₋₇₅₅₄
NGC 6342	1.6	-102 ⁺¹⁵ ₋₁₅	125 ⁺¹⁶ ₋₁₆	163 ⁺⁵ ₋₅	1.8 ^{+0.3} _{-0.3}	0.63 ^{+0.11} _{-0.11}	0.47 ^{+0.15} _{-0.15}	64 ⁺² ₋₂	30 ⁺¹ ₋₁	100 ⁺⁹ ₋₉	-209213 ⁺¹⁴²² ₋₁₄₂₂
NGC 6356	7.8	47 ⁺⁴ ₋₄	117 ⁺¹⁴ ₋₁₄	167 ⁺¹⁴ ₋₁₄	8.5 ^{+0.9} _{-0.9}	2.96 ^{+0.75} _{-0.75}	0.48 ^{+0.08} _{-0.08}	41 ⁺⁵ ₋₅	114 ⁺¹³ ₋₁₃	846 ⁺¹⁷⁶ ₋₁₇₆	-131325 ⁺⁵⁹²⁶ ₋₅₉₂₆
NGC 6355	0.9	-218 ⁺³⁰² ₋₃₀₂	-89 ⁺³⁴ ₋₃₄	273 ⁺⁶ ₋₆	1.4 ^{+0.7} _{-0.7}	0.64 ^{+0.05} _{-0.05}	0.38 ^{+0.08} _{-0.08}	97 ⁺⁷ ₋₇	20 ⁺⁵ ₋₅	-216289 ⁺⁷³⁹⁸ ₋₇₃₉₈	-216289 ⁺³⁴³¹ ₋₃₄₃₁
NGC 6352	3.6	44 ⁺¹⁰ ₋₁₀	226 ⁺⁶ ₋₆	230 ⁺⁶ ₋₆	4.2 ^{+0.3} _{-0.3}	3.19 ^{+0.15} _{-0.15}	0.13 ^{+0.03} _{-0.03}	11 ⁺¹ ₋₁	70 ⁺² ₋₂	802 ⁺⁴⁵⁴ ₋₄₅₄	-163337 ⁺³¹⁹⁰ ₋₃₁₉₀
IC 1257	19.2	-51 ⁺¹⁹ ₋₁₉	-23 ⁺¹¹ ₋₁₁	58 ⁺¹⁰ ₋₁₀	20.0 ^{+0.6} _{-0.6}	0.75 ^{+0.17} _{-0.17}	0.93 ^{+0.03} _{-0.03}	157 ⁺¹³ ₋₁₃	224 ⁺⁸ ₋₂₀	-407 ⁺²⁷² ₋₂₇₂	-95179 ⁺⁴¹⁶² ₋₄₁₆₂

Таблица 1: Орбитальные свойства ПС. Продолжение с прелыдущей страницы.

Имя ПС	d_{GC} [кпк]	Π [км/с]	Θ [км/с]	V_{tot} [км/с]	апо [кпк]	peri [кпк]	еск	T_r [кик км/с]	L/Z [км ² /с ²]
Terzan 2	0.8	-104 ^{+0.3} _{-2.5}	-74 ^{+2.6} _{-3.6}	137 ⁺³ ₋₃	1.0 ^{+0.3} _{-0.3}	0.13 ^{+0.04} _{-0.04}	0.76 ^{+0.10} _{-0.16}	156 ⁺³ ₋₉	-56 ⁺¹¹ ₋₁₀
NGC 6366	5.3	94 ⁺² ₋₂	135 ⁺² ₋₃	176 ⁺² ₋₂	5.9 ^{+0.1} _{-0.1}	2.24 ^{+0.06} _{-0.06}	0.45 ^{+0.01} _{-0.01}	32 ⁺² ₋₁	-252725 ⁺¹³⁰²¹ ₋₁₃₀₈₄
Terzan 4	0.9	13 ⁺¹ ₋₁	61 ⁺³ ₋₃	118 ⁺³ ₋₃	5.9 ^{+0.3} _{-0.3}	0.18 ^{+0.02} _{-0.02}	0.68 ^{+0.05} _{-0.05}	58 ⁺⁴ ₋₄	-152836 ⁺¹²²⁶ ₋₁₂₂₇₃
BH 229	1.4	-54 ⁺¹¹ ₋₁₅	7 ⁺¹² ₋₁₂	250 ⁺¹⁶ ₋₁₀	2.4 ^{+0.5} _{-0.5}	0.18 ^{+0.12} _{-0.12}	0.82 ^{+0.18} _{-0.18}	88 ⁺⁴ ₋₄	-250150 ⁺¹³⁸⁶⁰ ₋₁₄₈₈₀
FSR 1758	3.4	45 ⁺²⁷ ₋₁₆	-343 ⁺⁸ ₋₁₅	396 ⁺⁴ ₋₄	12.0 ^{+1.7} _{-1.7}	3.31 ^{+0.37} _{-0.37}	0.57 ^{+0.01} _{-0.01}	148 ⁺³ ₋₃	-205120 ⁺¹⁴²²⁶ ₋₁₄₂₄₃
NGC 6362	5.2	18 ⁺¹⁶ ₋₁₉	124 ⁺⁸ ₋₇	160 ⁺⁶ ₋₆	5.4 ^{+0.4} _{-0.4}	2.48 ^{+0.16} _{-0.16}	0.37 ^{+0.03} _{-0.03}	45 ⁺³ ₋₃	-113174 ⁺⁵¹⁷¹⁷ ₋₅₁₇₄₃
Liller 1	0.8	80 ⁺²⁷ ₋₃₇	-70 ⁺³⁷ ₋₃₇	109 ⁺²¹ ₋₁₈	0.8 ^{+0.3} _{-0.3}	0.12 ^{+0.11} _{-0.11}	0.75 ^{+0.12} _{-0.12}	160 ⁺¹⁵ ₋₁₃	-1133 ⁺¹²¹⁵ ₋₁₂₂₄
NGC 6380	2.1	-82 ⁺⁴⁸ ₋₃₂	-27 ⁺³² ₋₁₈	87 ⁺⁸ ₋₁₈	2.4 ^{+0.9} _{-0.9}	0.10 ^{+0.06} _{-0.06}	0.92 ^{+0.04} _{-0.04}	153 ⁺¹² ₋₁₂	-205120 ⁺¹⁴²²⁶ ₋₁₄₂₄₃
Terzan 1	2.7	-72 ⁺⁸ ₋₈	98 ⁺⁹ ₋₉	121 ⁺⁸ ₋₉	2.8 ^{+0.3} _{-0.3}	0.67 ^{+0.13} _{-0.13}	0.62 ^{+0.04} _{-0.04}	3 ⁺⁰ ₋₀	-113174 ⁺⁵¹⁷¹⁷ ₋₅₁₇₄₃
Pismis 26	1.9	44 ⁺¹⁶ ₋₁₈	238 ⁺⁶ ₋₅	296 ⁺⁶ ₋₅	3.3 ^{+0.5} _{-0.5}	1.76 ^{+0.21} _{-0.21}	0.30 ^{+0.05} _{-0.05}	38 ⁺¹ ₋₁	-1133 ⁺¹²¹⁵ ₋₁₂₂₄
NGC 6388	3.9	-29 ⁺⁸ ₋₇	-92 ⁺⁷ ₋₆	98 ⁺⁵ ₋₅	4.2 ^{+0.2} _{-0.2}	1.00 ^{+0.12} _{-0.12}	0.61 ^{+0.07} _{-0.07}	155 ⁺² ₋₂	-153270 ⁺¹⁶²⁰⁹ ₋₁₆₂₅₉
NGC 6402	4.0	-18 ⁺¹³ ₋₁₅	46 ⁺⁵ ₋₅	53 ⁺⁵ ₋₅	4.7 ^{+0.1} _{-0.1}	0.27 ^{+0.12} _{-0.12}	0.89 ^{+0.01} _{-0.01}	46 ⁺⁵ ₋₄	-261115 ⁺¹⁶³⁹⁵ ₋₁₆₄₀₁
NGC 6401	0.8	257 ⁺⁷ ₋₈	34 ⁺¹⁴ ₋₁₅	285 ⁺² ₋₂	2.0 ^{+0.6} _{-0.6}	0.06 ^{+0.36} _{-0.36}	0.94 ^{+0.02} _{-0.02}	77 ⁺³³ ₋₃₃	-178537 ⁺⁵¹⁹⁰ ₋₅₁₉₂
NGC 6397	6.1	41 ⁺³ ₋₆	118 ⁺⁴ ₋₄	181 ⁺⁵ ₋₅	6.5 ^{+0.1} _{-0.1}	2.57 ^{+0.05} _{-0.05}	0.43 ^{+0.04} _{-0.04}	47 ⁺³ ₋₃	-177534 ⁺⁵¹⁹² ₋₅₁₉₇
Pal 6	1.3	-199 ⁺⁶ ₋₄	-10 ⁺²⁵ ₋₂₁	270 ⁺¹⁰ ₋₃	2.8 ^{+0.8} _{-0.8}	0.08 ^{+0.08} _{-0.08}	0.95 ^{+0.07} _{-0.07}	93 ⁺⁶ ₋₆	-140346 ⁺¹³³⁰³ ₋₁₄₁₇₄₇
NGC 6426	14.4	-111 ⁺¹² ₋₁₂	94 ⁺⁶ ₋₆	149 ⁺¹² ₋₁₂	16.7 ^{+0.8} _{-0.8}	3.28 ^{+0.26} _{-0.26}	0.67 ^{+0.03} _{-0.03}	26 ⁺² ₋₂	-140346 ⁺¹³³⁰³ ₋₁₄₁₇₄₇
Djorg 1	1.7	-291 ⁺⁴⁸ ₋₄₈	294 ⁺³⁹ ₋₃₉	414 ⁺⁸ ₋₈	8.6 ^{+2.2} _{-2.2}	1.06 ^{+0.18} _{-0.18}	0.78 ^{+0.02} _{-0.02}	19 ⁺² ₋₂	-140346 ⁺¹³³⁰³ ₋₁₄₁₇₄₇
Terzan 5	1.8	75 ⁺² ₋₄	294 ⁺⁴⁸ ₋₄₈	102 ⁺⁵ ₋₅	1.9 ^{+0.3} _{-0.3}	0.22 ^{+0.02} _{-0.02}	0.80 ^{+0.02} _{-0.02}	32 ⁺⁵ ₋₅	-140346 ⁺¹³³⁰³ ₋₁₄₁₇₄₇
NGC 6440	1.3	94 ⁺⁴ ₋₄	-22 ⁺²⁹ ₋₂₈	104 ⁺³ ₋₃	1.5 ^{+0.1} _{-0.1}	0.05 ^{+0.02} _{-0.02}	0.93 ^{+0.02} _{-0.02}	104 ⁺¹ ₋₁	-140346 ⁺¹³³⁰³ ₋₁₄₁₇₄₇
NGC 6441	4.7	17 ⁺¹⁹ ₋₁₉	99 ⁺¹⁰ ₋₁₀	103 ⁺⁹ ₋₉	4.7 ^{+0.7} _{-0.7}	1.43 ^{+0.26} _{-0.26}	0.53 ^{+0.08} _{-0.08}	18 ⁺³ ₋₃	-163955 ⁺⁷⁵⁸¹ ₋₇₅₈₃
Terzan 6	1.1	-129 ⁺⁴⁸ ₋₄₈	-79 ⁺¹¹ ₋₁₁	153 ⁺⁴ ₋₄	1.3 ^{+0.6} _{-0.6}	0.17 ^{+0.35} _{-0.35}	0.77 ^{+0.03} _{-0.03}	16 ⁺⁶ ₋₆	-236580 ⁺¹³⁷³⁰ ₋₁₃₇₃₆
NGC 6453	2.0	-109 ⁺¹⁶ ₋₁₆	-79 ⁺²⁴ ₋₂₄	-79 ⁺¹⁴ ₋₁₄	2.6 ^{+0.6} _{-0.6}	0.20 ^{+0.03} _{-0.03}	0.86 ^{+0.04} _{-0.04}	84 ⁺⁶ ₋₆	-201623 ⁺¹⁰⁶⁸¹ ₋₁₀₆₈₂
NGC 6496	2.8	28 ⁺²³ ₋₂₃	264 ⁺¹⁹ ₋₁₉	269 ⁺¹¹ ₋₁₁	4.6 ^{+0.9} _{-0.9}	2.35 ^{+0.02} _{-0.02}	0.32 ^{+0.03} _{-0.03}	37 ⁺⁹ ₋₉	-220380 ⁺¹⁰⁷³⁰ ₋₁₀₇₃₅
Terzan 9	2.6	-45 ⁺³⁴ ₋₃₄	52 ⁺¹⁴ ₋₁₄	84 ⁺⁹ ₋₉	2.7 ^{+0.3} _{-0.3}	0.28 ^{+0.07} _{-0.07}	0.81 ^{+0.02} _{-0.02}	45 ⁺² ₋₂	-233545 ⁺¹⁰⁸² ₋₁₀₈₄
Djorg 2	0.7	8 ⁺⁹ ₋₉	-206 ⁺⁶² ₋₆₂	218 ⁺⁴ ₋₄	8.8 ^{+0.6} _{-0.6}	0.50 ^{+0.30} _{-0.30}	0.21 ^{+0.31} _{-0.31}	146 ⁺⁶ ₋₆	-140346 ⁺¹³³⁰³ ₋₁₄₁₇₄₇
NGC 6517	3.2	58 ⁺⁷⁷ ₋₇₇	-41 ⁺¹⁰ ₋₁₀	78 ⁺⁴ ₋₄	3.7 ^{+0.2} _{-0.2}	0.23 ^{+0.09} _{-0.09}	0.88 ^{+0.02} _{-0.02}	53 ⁺² ₋₂	-140346 ⁺¹³³⁰³ ₋₁₄₁₇₄₇
Terzan 10	2.1	228 ⁺²² ₋₂₃	94 ⁺⁵⁴ ₋₅₄	335 ⁺¹⁰ ₋₁₀	5.3 ^{+0.2} _{-0.2}	0.57 ^{+0.02} _{-0.02}	0.81 ^{+0.03} _{-0.03}	84 ⁺⁸ ₋₈	-161433 ⁺¹⁴⁹⁷³ ₋₁₄₉₇₈
NGC 6522	1.1	26 ⁺⁴⁵ ₋₄₅	102 ⁺⁷ ₋₇	206 ⁺¹⁰ ₋₁₀	1.4 ^{+0.5} _{-0.5}	0.42 ^{+0.05} _{-0.05}	0.54 ^{+0.06} _{-0.06}	59 ⁺³ ₋₃	-105 ⁺⁵⁴ ₋₅₄
NGC 6535	4.1	109 ⁺⁵ ₋₅	-69 ⁺⁵ ₋₅	135 ⁺⁴ ₋₄	4.8 ^{+0.1} _{-0.1}	0.80 ^{+0.11} _{-0.11}	0.72 ^{+0.03} _{-0.03}	163 ⁺⁰ ₋₀	-205042 ⁺¹²³⁹⁶ ₋₁₂₃₉₅
NGC 6541	2.2	1117 ⁺³³ ₋₃₃	197 ⁺²² ₋₂₂	255 ⁺⁵ ₋₅	3.7 ^{+0.4} _{-0.4}	1.29 ^{+0.15} _{-0.15}	0.49 ^{+0.07} _{-0.07}	41 ⁺⁴ ₋₄	-246126 ⁺²²³⁴⁰ ₋₂₂₃₄₅
NGC 6528	0.8	-201 ⁺²¹ ₋₂₁	103 ⁺⁶² ₋₆₂	230 ⁺² ₋₂	1.1 ^{+0.4} _{-0.4}	0.23 ^{+0.11} _{-0.11}	0.66 ^{+0.03} _{-0.03}	70 ⁺⁵ ₋₅	-190163 ⁺¹²⁰⁰⁴ ₋₁₂₀₀₄
NGC 6539	3.1	1 ⁺¹⁶ ₋₁₆	118 ⁺⁷ ₋₇	214 ⁺⁸ ₋₈	3.5 ^{+0.1} _{-0.1}	1.85 ^{+0.14} _{-0.14}	0.31 ^{+0.04} _{-0.04}	57 ⁺² ₋₂	-162093 ⁺¹⁵⁸²³ ₋₁₅₈₂₆
NGC 6540	2.5	16 ⁺³ ₋₃	136 ⁺⁵ ₋₅	150 ⁺⁵ ₋₅	2.6 ^{+0.3} _{-0.3}	1.14 ^{+0.19} _{-0.19}	0.38 ^{+0.04} _{-0.04}	26 ⁺¹ ₋₁	-331 ⁺⁵⁰ ₋₅₀
NGC 6544	5.7	10 ⁺² ₋₂	80 ⁺⁵ ₋₅	87 ⁺³ ₋₃	6.0 ^{+0.1} _{-0.1}	0.45 ^{+0.08} _{-0.08}	0.86 ^{+0.04} _{-0.04}	63 ⁺² ₋₂	-229 ⁺²⁷ ₋₂₇
NGC 6541	2.2	1117 ⁺³³ ₋₃₃	197 ⁺²² ₋₂₂	255 ⁺⁵ ₋₅	3.7 ^{+0.4} _{-0.4}	1.29 ^{+0.15} _{-0.15}	0.49 ^{+0.07} _{-0.07}	41 ⁺⁴ ₋₄	-172105 ⁺¹⁷⁸⁰⁴ ₋₁₇₈₀₄
ESO 280-06	13.3	34 ⁺⁷ ₋₇	21 ⁺¹¹ ₋₁₁	83 ⁺⁹ ₋₉	13.7 ^{+0.2} _{-0.2}	0.73 ^{+0.22} _{-0.22}	0.90 ^{+0.03} _{-0.03}	71 ⁺¹⁴ ₋₁₄	-257 ⁺¹⁵ ₋₁₅
NGC 6553	3.0	29 ⁺⁵ ₋₃	249 ⁺¹¹ ₋₁₁	251 ⁺¹ ₋₁	3.9 ^{+0.9} _{-0.9}	2.96 ^{+0.08} _{-0.08}	0.13 ^{+0.02} _{-0.02}	5 ⁺¹ ₋₁	-168744 ⁺¹²⁸³² ₋₁₂₈₃₂
NGC 6555	1.2	187 ⁺³ ₋₃	91 ⁺⁶ ₋₆	209 ⁺³ ₋₃	1.6 ^{+0.4} _{-0.4}	0.26 ^{+0.17} _{-0.17}	0.72 ^{+0.13} _{-0.13}	65 ⁺¹¹ ₋₁₁	-219183 ⁺⁷⁷⁸⁰ ₋₇₇₈₀
Pal 7	4.5	-102 ⁺⁶ ₋₅	268 ⁺⁴ ₋₄	287 ⁺⁵ ₋₃	7.2 ^{+0.2} _{-0.2}	3.78 ^{+0.24} _{-0.24}	0.31 ^{+0.05} _{-0.05}	10 ⁺⁶ ₋₁	-1184 ⁺⁸⁵ ₋₃₉
								100 ⁺⁴ ₋₁	1184 ⁺⁸⁵ ₋₃₉

Таблица 1: Орбитальные свойства ПС. Продолжение с предыдущей страницы.

Имя ПС	d_{GC} [кпк]	π [км/с]	Θ [км/с]	V_{tot} [км/с]	апо [кпк]	peri [кпк]	ecc	инд. θ [град]	T_r [млн. лет]	L_Z [кпк км/с]	E [км ² /с ²]
Terzan 12	3.3	-94 ⁺² ₋₅	160 ⁺¹ ₋₆	211 ⁺⁵ ₋₆	4.0 ^{+0.3}	1.87 ^{+0.15}	0.36 ^{+0.02}	31 ⁺² ₋₂	54 ⁺⁵ ₋₂	-174529 ⁺³⁹⁰⁵	524 ⁺⁴⁹ ₋₄₀
NGC 6569	2.5	-40 ⁺² ₋₄	164 ⁺¹ ₋₄	170 ⁺⁴ ₋₄	2.6 ^{+0.6}	1.46 ^{+0.35}	0.28 ^{+0.03}	29 ⁺⁷ ₋₇	46 ⁺⁸ ₋₈	-18983 ⁺⁶²⁰	354 ⁺⁴⁹ ₋₅₀
ESO 456-78	2.3	62 ⁺⁴ ₋₄	203 ⁺² ₋₂	249 ⁺⁴ ₋₄	3.2 ^{+0.3}	1.81 ^{+0.33}	0.27 ^{+0.05}	32 ⁺² ₋₂	58 ⁺⁸ ₋₈	-180481 ⁺⁵⁸⁷	458 ⁺⁶³ ₋₆₄
NGC 6584	6.9	198 ⁺¹² ₋₁₂	105 ⁺²⁹ ₋₁₂	327 ⁺¹² ₋₉	18.6 ^{+2.5}	1.79 ^{+0.29}	0.82 ^{+0.03}	50 ⁺³ ₋₃	220 ⁺³⁴ ₋₃₄	-96417 ⁺⁶¹⁵⁸	603 ⁺²³ ₋₂₃
NGC 6634	1.2	-23 ⁺⁴ ₋₄	60 ⁺¹⁴ ₋₁₄	138 ⁺⁶ ₋₆	1.7 ^{+0.3}	0.98 ^{+0.05}	0.91 ^{+0.05}	74 ⁺² ₋₂	20 ⁺⁴ ₋₄	-227013 ⁺³⁰⁸²	32 ⁺¹⁶ ₋₁₆
NGC 6626	3.1	-27 ⁺⁴ ₋₄	61 ⁺¹² ₋₁₂	113 ⁺⁷ ₋₆	3.2 ^{+0.3}	0.49 ^{+0.11}	0.73 ^{+0.08}	58 ⁺³ ₋₃	44 ⁺⁷ ₋₇	-191218 ⁺²⁷⁷⁷	190 ⁺³² ₋₃₂
NGC 6638	2.2	64 ⁺⁹ ₋₉	10+ ₋₁₃	70 ⁺⁶ ₋₆	2.7 ^{+1.46} _{-5.8}	0.04 ^{+0.06}	0.97 ^{+0.01}	81 ⁺¹³ ₋₁₃	24 ⁺⁷ ₋₇	-20+ ₋₁₈	-206839 ⁺⁸¹³³
NGC 6637	1.7	43 ⁺²⁰ ₋₁₂	89 ⁺⁹ ₋₉	128 ⁺⁷ ₋₇	2.4 ^{+0.2}	0.12 ^{+0.10}	0.91 ^{+0.10}	75 ⁺¹¹ ₋₁₁	22 ⁺² ₋₂	-211371 ⁺⁴¹³¹	47 ⁺¹² ₋₁₂
Pal 8	4.0	-17 ⁺¹³ ₋₁₃	78 ⁺¹¹ ₋₁₁	85 ⁺¹⁵ ₋₁₅	4.2 ^{+0.2}	0.87 ^{+0.11}	0.66 ^{+0.05}	29 ⁺³ ₋₃	124 ⁺³ ₋₃	-178566 ⁺¹⁷⁶⁴	295 ⁺³³ ₋₃₃
NGC 6681	2.2	223 ⁺¹⁶ ₋₁₆	9 ⁺⁸⁷ ₋₈₇	287 ⁺¹⁴ ₋₁₄	5.0 ^{+0.6}	0.48 ^{+0.17}	0.82 ^{+0.07}	52 ⁺⁴ ₋₄	52 ⁺⁴ ₋₄	-178566 ⁺¹⁷⁶⁴	8 ⁺⁴⁷ ₋₄₇
NGC 6712	3.6	141 ⁺³ ₋₃	5 ⁺⁸ ₋₈	213 ⁺⁵ ₋₆	5.6 ^{+0.5}	0.07 ^{+0.05}	0.98 ^{+0.01}	88 ⁺⁸ ₋₈	58 ⁺⁴ ₋₄	-163960 ⁺³⁶³⁷	18 ⁺⁴³ ₋₄₃
NGC 6715	18.4	231 ⁺³ ₋₃	48 ⁺⁸ ₋₈	311 ⁺⁵ ₋₆	51.8 ^{+8.7}	14.41 ^{+1.06}	0.56 ^{+0.04}	80 ⁺³ ₋₃	826 ⁺¹⁵³ ₋₁₅₃	-168037 ⁺³⁹⁸⁹	836 ⁺²³⁷ ₋₂₃₇
NGC 6717	2.4	-1+ ₋₁	111 ⁺⁷ ₋₇	114 ⁺⁷ ₋₇	2.7 ^{+0.5}	0.64 ^{+0.15}	0.62 ^{+0.03}	37 ⁺⁵ ₋₅	32 ⁺⁷ ₋₇	-50574 ⁺⁴⁷⁷⁹	836 ⁺²⁶⁶ ₋₂₆₆
NGC 6723	2.5	105 ⁺⁷ ₋₇	180 ⁺⁴⁵ ₋₄₅	211 ⁺² ₋₄	3.1 ^{+0.2}	1.68 ^{+0.07}	0.30 ^{+0.02}	82 ⁺⁶ ₋₆	42 ⁺⁴ ₋₄	-197801 ⁺⁴⁸⁹⁵	220 ⁺²³ ₋₂₃
NGC 6749	5.0	-20 ⁺¹⁰ ₋₁₀	107 ⁺⁵ ₋₅	109 ⁺⁵ ₋₅	3.1 ^{+0.2}	1.68 ^{+0.19}	0.30 ^{+0.03}	82 ⁺⁶ ₋₆	42 ⁺⁴ ₋₄	-197801 ⁺⁴⁸⁹⁵	73 ⁺⁵³ ₋₅₃
NGC 6752	5.4	-25 ⁺¹³ ₋₁₃	177 ⁺² ₋₂	188 ⁺⁵ ₋₅	5.6 ^{+0.1}	1.47+ _{-0.33}	0.55 ^{+0.04}	3+ ₋₀	62 ⁺⁴ ₋₄	-168249 ⁺³⁴⁵	532 ⁺²²⁷ ₋₂₂₇
NGC 6760	5.2	101 ⁺⁹ ₋₉	132 ⁺⁶ ₋₆	167 ⁺⁵ ₋₅	5.9 ^{+0.1}	3.46 ^{+0.07}	0.24 ^{+0.02}	24 ⁺¹ ₋₁	80 ⁺³ ₋₃	-148003 ⁺¹⁰⁶³	903 ⁺²¹⁴ ₋₂₁₄
NGC 6779	9.9	153 ⁺¹ ₋₁	9 ⁺¹² ₋₁₂	192 ⁺⁷ ₋₇	5.8 ^{+0.4}	1.94 ^{+0.18}	0.50 ^{+0.04}	7+ ₋₁	74 ⁺⁰ ₋₀	-157039 ⁺¹⁰⁹⁴	684 ⁺²³ ₋₂₃
Terzan 7	16.7	264 ⁺⁵ ₋₅	-30 ⁺⁴ ₋₄	192 ⁺⁴ ₋₄	13.2 ^{+0.7}	1.32+ _{-0.23}	0.50 ^{+0.02}	7+ ₋₀	74 ⁺⁰ ₋₀	-154177 ⁺¹⁸³⁴	270 ⁺²³ ₋₂₃
Pal 10	7.7	-80 ⁺¹¹ ₋₉	258 ⁺¹² ₋₉	274 ⁺¹² ₋₈	11.0 ^{+1.0}	6.40 ^{+0.38}	0.26 ^{+0.04}	8+ ₋₀	62 ⁺⁴ ₋₄	-167707 ⁺²⁴⁷⁰⁷	532 ⁺²²⁷ ₋₂₂₇
Arp 2	21.3	242 ⁺⁵ ₋₅	62+ ₋₂₀	307 ⁺⁷ ₋₇	62.7 ^{+7.8}	17.69 ^{+1.00}	0.56 ^{+0.03}	79 ⁺² ₋₂	80 ⁺³ ₋₃	-167707 ⁺²⁴⁷⁰⁷	1158 ⁺¹²⁸ ₋₁₂₈
NGC 6809	4.1	-199 ⁺² ₋₂	77 ⁺¹² ₋₁₂	220 ⁺² ₋₂	5.8 ^{+0.2}	1.18+ _{-0.39}	0.66 ^{+0.03}	67 ⁺³ ₋₃	76 ⁺³ ₋₃	-154177 ⁺¹⁸³⁴	270 ⁺²³ ₋₂₃
Terzan 8	20.3	273 ⁺⁹ ₋₉	54 ⁺¹³ ₋₁₃	328 ⁺² ₋₂	17.48 ^{+0.33}	1.74 ^{+0.43}	0.63 ^{+0.04}	82 ⁺² ₋₂	1294 ⁺²¹³ ₋₂₁₃	-144425 ⁺²⁷⁰⁷	901 ⁺⁶⁴ ₋₆₄
Pal 11	8.7	-20 ⁺¹³ ₋₁₃	49 ⁺¹² ₋₁₂	323 ⁺⁶ ₋₆	58.0 ^{+5.5}	14.34 ^{+1.48}	0.60 ^{+0.03}	82 ⁺³ ₋₃	924 ⁺⁹⁶ ₋₉₆	-144425 ⁺²⁷⁰⁷	717 ⁺¹³⁷ ₋₁₃₇
NGC 6838	7.0	38 ⁺⁸ ₋₈	240 ⁺¹ ₋₁	211 ⁺¹ ₋₁	8.7 ^{+0.7}	3.46 ^{+0.07}	0.55 ^{+0.03}	3+ ₋₀	62 ⁺⁴ ₋₄	-147606 ⁺²⁶⁸⁸	1183 ⁺²¹¹ ₋₂₁₁
NGC 6864	14.2	-96 ⁺⁵ ₋₆	15 ⁺¹ ₋₁	111 ⁺⁶ ₋₆	7.7 ^{+0.7}	5.8 ^{+0.2}	1.18+ _{-0.02}	12+ ₋₁	164 ⁺¹⁷ ₋₁₇	-126706 ⁺²⁴⁰³	1969 ⁺¹²⁶ ₋₁₂₆
NGC 6934	12.8	-291 ⁺¹⁵ ₋₁₅	109 ⁺¹⁸ ₋₁₈	334 ⁺⁷ ₋₇	42.7 ^{+3.0}	2.69 ^{+0.55}	0.88 ^{+0.02}	23+ ₋₁	1294 ⁺²¹³ ₋₂₁₃	-111517 ⁺²⁰⁵⁹	717 ⁺¹³⁷ ₋₁₃₇
NGC 6981	12.5	-154 ⁺⁷ ₋₇	54 ⁺¹² ₋₁₂	152 ⁺⁵ ₋₅	8.7 ^{+0.7}	4.20 ^{+0.52}	0.35 ^{+0.03}	27+ ₋₂	122 ⁺⁸ ₋₈	-111517 ⁺²⁰⁵⁹	1183 ⁺²¹¹ ₋₂₁₁
NGC 7006	36.6	-142 ⁺⁶ ₋₆	-27 ⁺¹¹ ₋₉	168 ⁺⁴ ₋₄	53.2 ^{+4.0}	2.21 ^{+0.63}	0.92 ^{+0.03}	10+ ₋₁	164 ⁺¹⁷ ₋₁₇	-111517 ⁺²⁰⁵⁹	909 ⁺¹³⁴ ₋₁₃₄
NGC 7078	10.8	5+ ₋₈	121 ⁺⁷ ₋₇	121 ⁺⁷ ₋₇	10.9 ^{+0.4}	5.00 ^{+0.32}	0.18 ^{+0.02}	12+ ₋₁	110+ ₋₁	-144425 ⁺²⁷⁰⁷	1422 ⁺²²⁸ ₋₂₂₈
NGC 7089	10.6	167 ⁺⁶ ₋₆	-16 ⁺¹⁶ ₋₁₆	111 ⁺⁶ ₋₆	16.0 ^{+0.8}	0.41 ^{+0.31}	0.95 ^{+0.03}	62+ ₋₀	1166 ₋₁₁₆₆	-11166 ₋₁₁₁₆₆	11166 ₋₁₁₁₆₆
NGC 7099	7.4	-48 ⁺⁹ ₋₇	101 ⁺¹¹ ₋₁₁	132 ⁺⁹ ₋₉	18.9 ^{+1.1}	1.59 ^{+0.24}	0.94 ^{+0.04}	119+ ₋₁₁	180+ ₋₁₇	-104981 ⁺¹⁶⁶⁴	169+ ₋₁₆₉
Pal 12	15.2	137 ⁺²³ ₋₂₄	298 ⁺¹ ₋₈	346 ⁺¹⁰ ₋₁₃	8.5 ^{+0.2}	1.00 ^{+0.36}	0.79 ^{+0.03}	119+ ₋₁₁	214+ ₋₁₄	-97367 ⁺²⁴⁹⁵⁴	98+ ₋₉₈
Pal 13	24.6	266 ⁺⁶ ₋₆	-62 ⁺¹¹ ₋₁₁	71 ⁺² ₋₄	58.9 ^{+9.1} _{-9.2}	15.01 ^{+0.64}	0.59 ^{+0.05}	67+ ₋₆	214+ ₋₁₄	-44251 ⁺¹⁵⁶⁹	2020+ ₋₁₉₃
NGC 7492	23.6	-70 ⁺¹⁴ ₋₁₂	101 ⁺¹¹ ₋₁₁	101 ⁺¹¹ ₋₁₁	26.1 ^{+1.4}	1.73 ^{+0.59}	0.88 ^{+0.04}	96+ ₋₄	314+ ₋₁₄	-81114 ⁺²³¹⁹	-97+ ₋₄₃

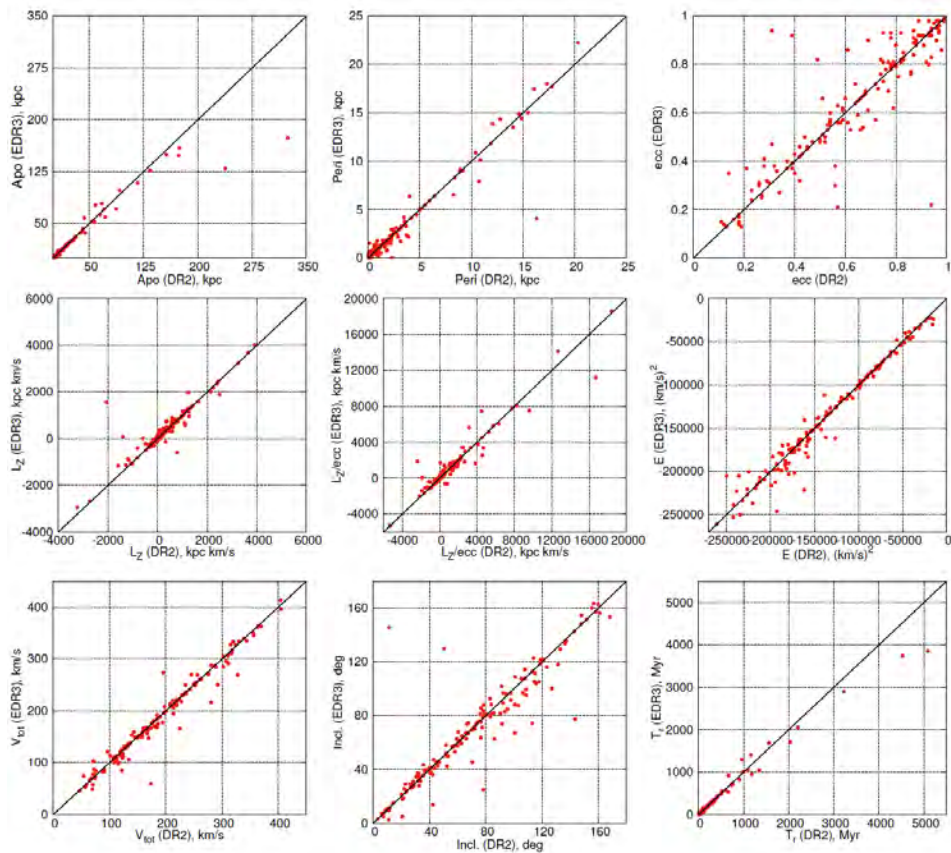


Рис. 4: Сравнение параметров орбит ШС (apo , $peri$, ecc , L_z , L_z/ecc , E , V_{tot} , θ , T_r), полученных по каталогу DR2 (горизонтальная ось) и каталогу EDR3 (вертикальная ось). На каждой панели нанесена линия совпадения.

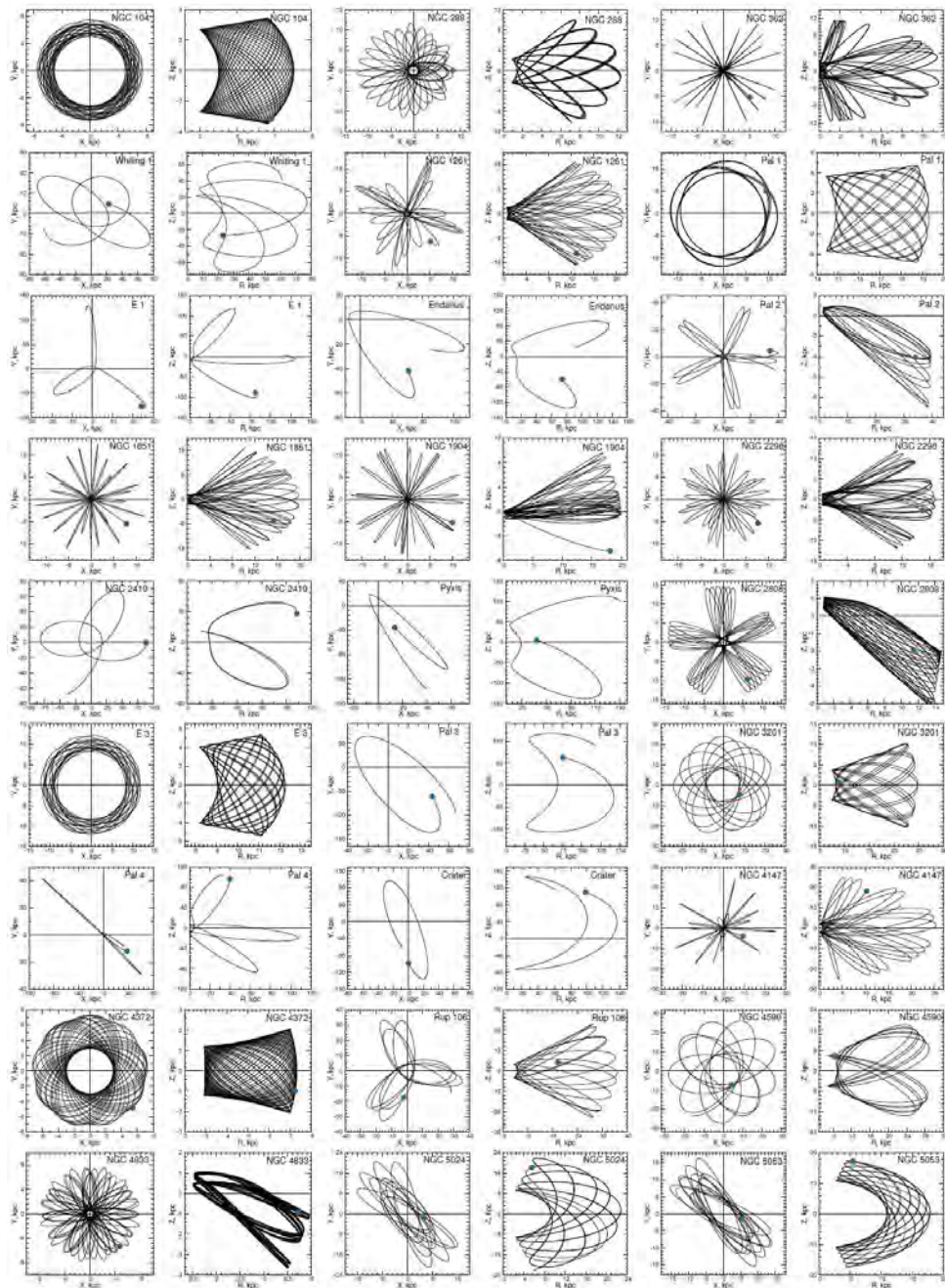


Рис. 5: Орбиты ШС галактики Млечный Путь. Синим кружочком отмечено начало орбиты.

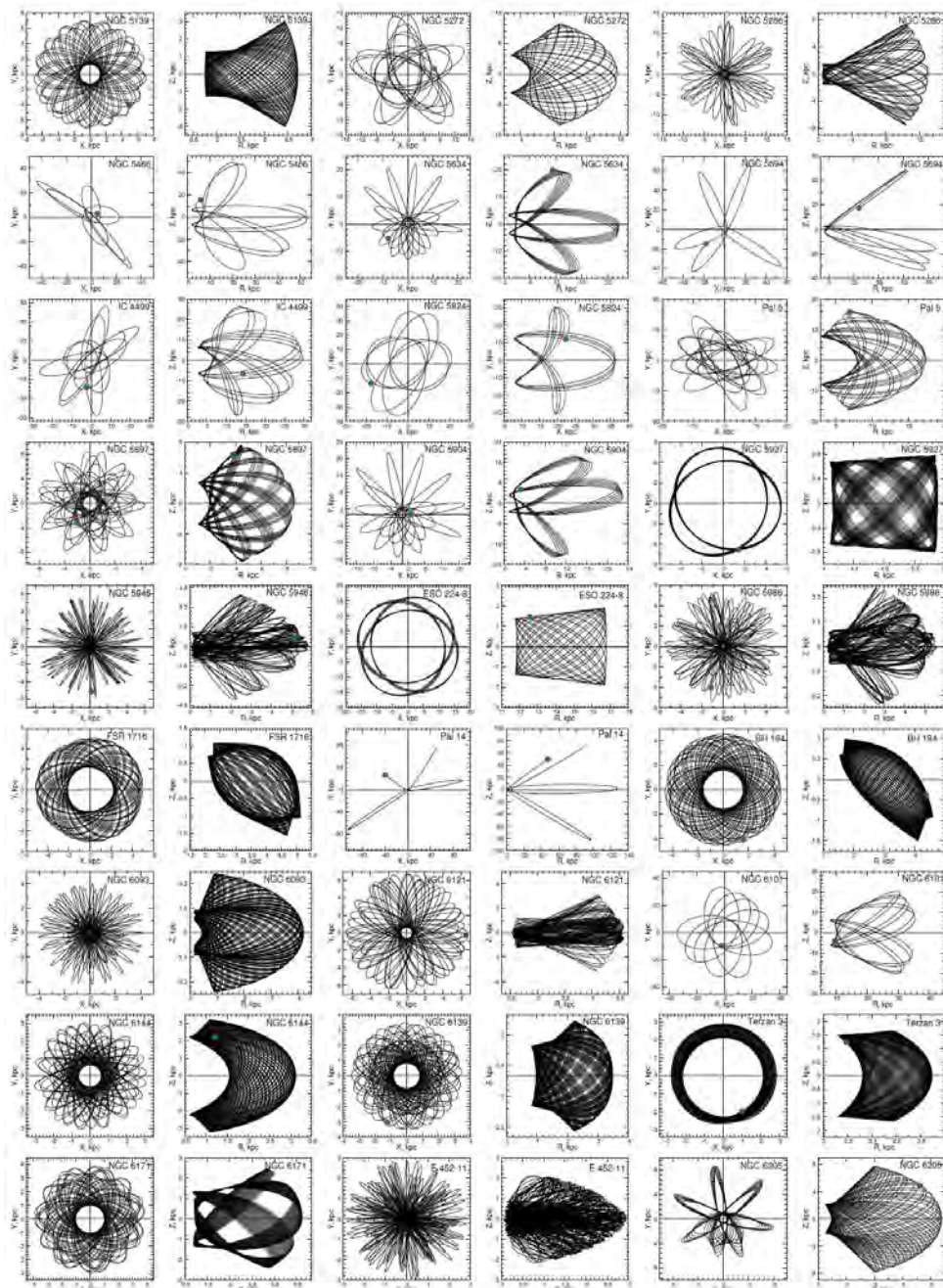


Рисунок 5: Продолжение

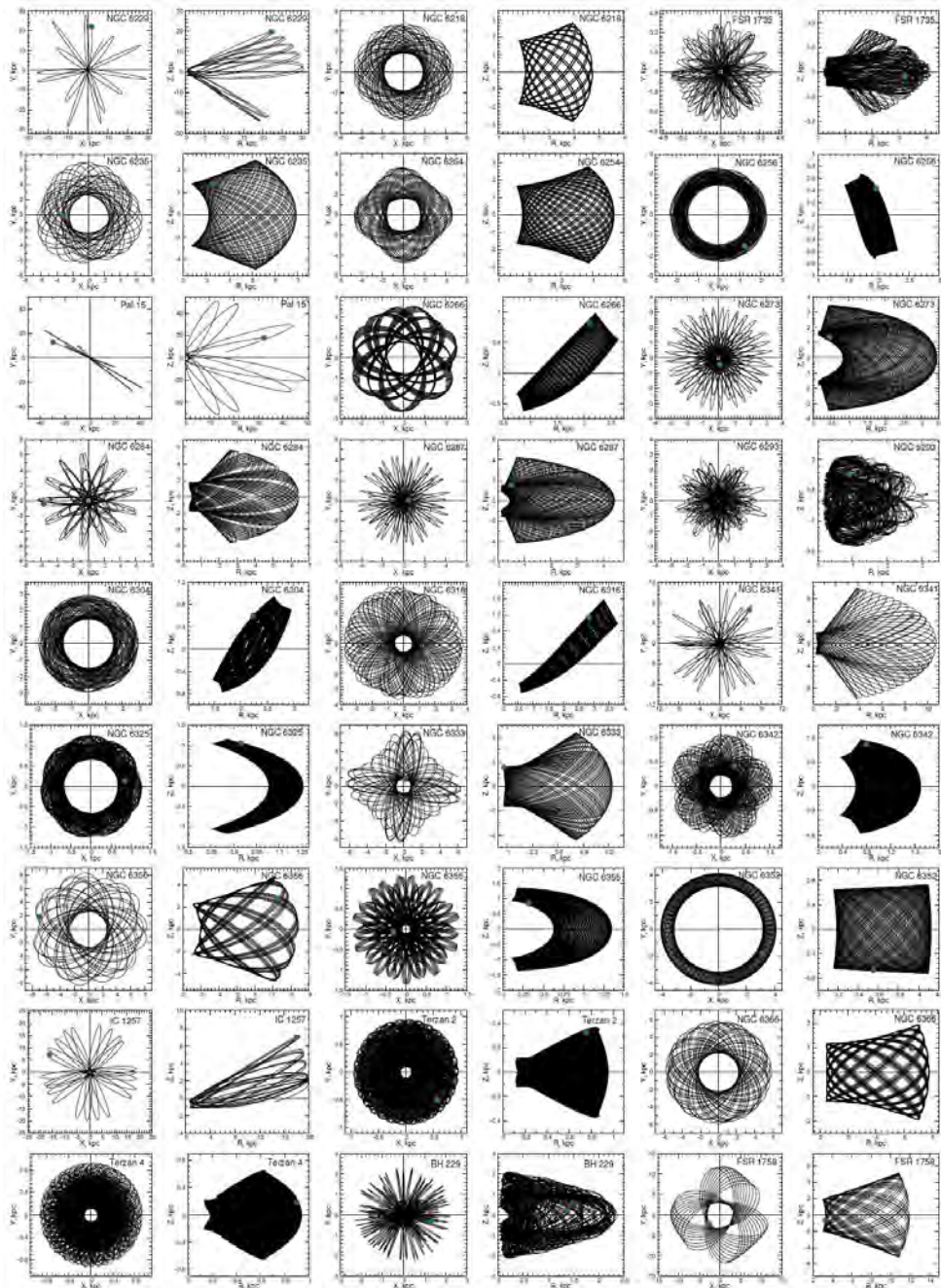


Рисунок 5: Продолжение

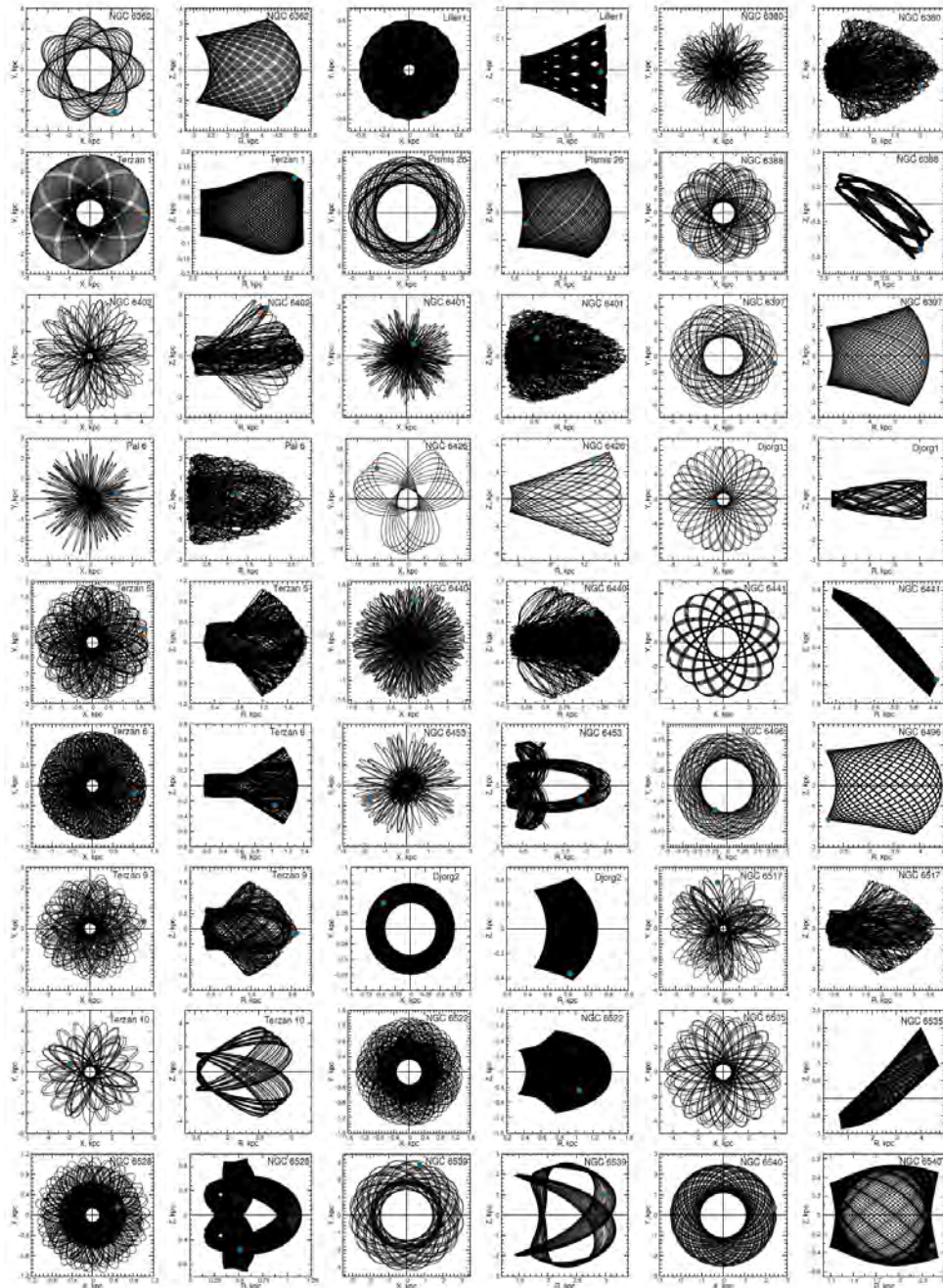


Рисунок 5: Продолжение

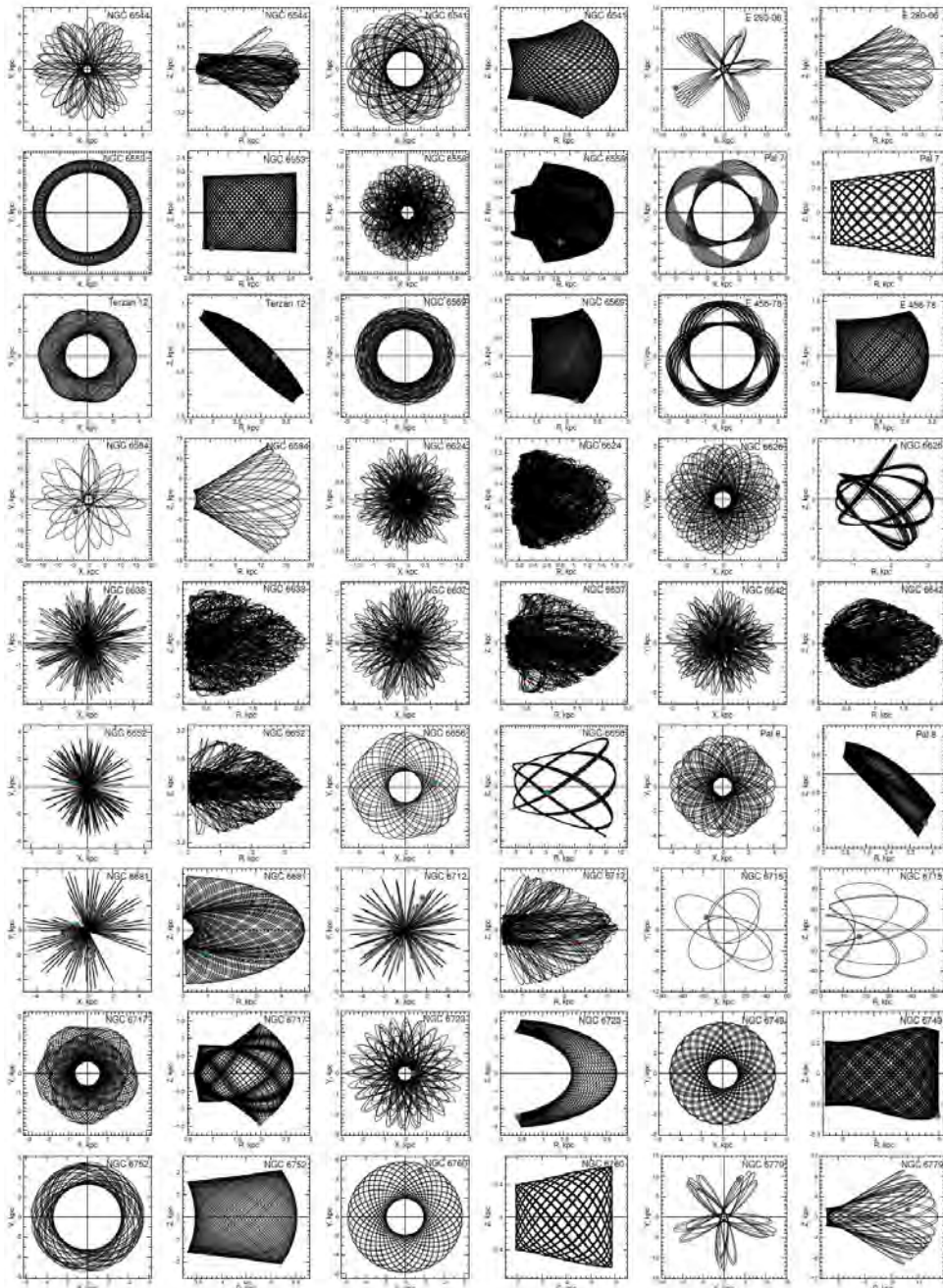


Рисунок 5: Продолжение

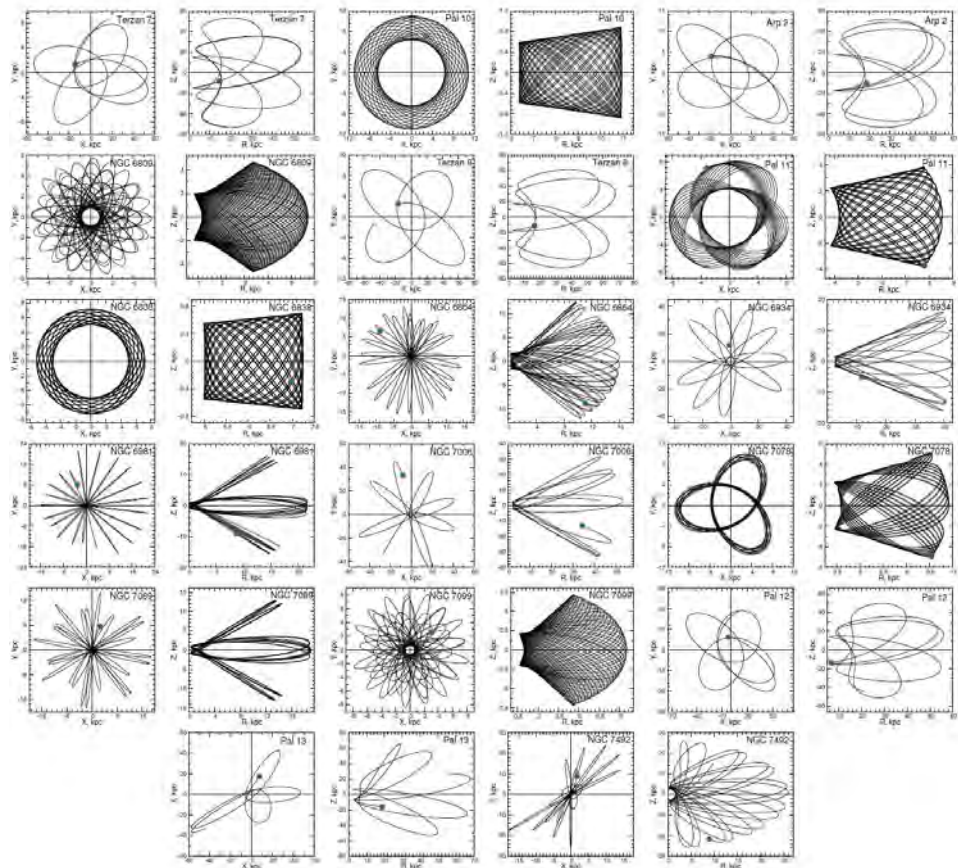


Рисунок 5: Продолжение